

CATÁLOGO SISTEMÁTICO DOS PÓLENS DAS PLANTAS ARBÓREAS DO BRASIL MERIDIONAL

I — *Magnoliaceae, Annonaceae, Lauraceae* e *Myristicaceae* *

HENRIQUE P. VELOSO e ORTRUD M. BARTH

Instituto Oswaldo Cruz, Rio de Janeiro, Guanabara

(Com 28 figuras no texto e 2 estampas)

O estudo dos pólens tem despertado em vários países, principalmente na Escandinávia (ERDTMAN, 1952), grande interesse como elemento auxiliar ao esclarecimento dos problemas filogenéticos, paleoclimáticos e alérgicos. No Brasil a palinologia só recentemente vem despertando nos pesquisadores algum interesse (GOMES, 1949 e MOREIRA, 1958).

Tendo em vista a importância do assunto no desenvolvimento da pesquisa biológica brasileira, resolvemos estudar, de modo coordenado, os pólens das plantas vivas, a fim de possibilitar a identificação dos pólens em suspensão no ar (WODEHOUSE, 1945) e, também, para facilitar a comparação com os fossilizados (ERDTMAN, 1954). Esperamos obter, assim, elementos para uma análise das camadas polínicas das turfeiras, capazes de esclarecerem a sucessão florística do passado (CAIN, 1939).

O catálogo versará sobre plantas da região meridional brasileira, por contarmos com o apoio do Herbário Barbosa Rodrigues de Itajaí que vem levantando sistemáticamente a flora de Santa Catarina (REITZ, 1958) e pela existência de problemas ecológicos equacionados por: LINDMAN (1906), IHERING (1907) e, mais recentemente, PAUWELS (1941) e MAACK (1948).

O princípio adotado para a seqüência das famílias, baseou-se nos conhecimentos paleobotânicos (EMBERGER, 1944). Desta maneira a divisão das *Polycarpicae*, consideradas como a base de um dos ramos evolutivos das Angiosperma, tem aqui suas variações em PULLE (1938),

* Recebido para publicação a 25 de abril de 1961.

Trabalho do Instituto Oswaldo Cruz (Divisão de Estudos de Endemias), realizado sob os auspícios do Conselho Nacional de Pesquisas.

WETTSTEIN (1944) e HUTCHINSON (1959). Estas, evidentemente, são hipotéticas.

Iniciamos, assim, o estudo com as famílias arbóreas consideradas mais primitivas, partindo das *Magnoliaceae* e, em seguida, tratando das *Annonaceae*, *Lauraceae* e *Myristicaceae* (HUTCHINSON, 1959).

MÉTODOS

Trabalhamos sómente com plantas herborizadas. O método padrão usado foi o da acetólise (ERDTMAN, 1952-54). Os resultados foram satisfatórios, sómente, às vezes, tivemos de alterá-los ligeiramente. O material foi corado, quando necessário, pelo processo de "Faegri", ou êste modificado.

Algumas lâminas, para fins de comparação, foram preparadas pelos métodos de WODEHOUSE (1935) e do KOH. Usamos também preparações em água.

ACETÓLISE: *Drimys* e *Virola* são os únicos gêneros que puderam ser submetidos ao método sem qualquer alteração. Todos os outros apresentaram dificuldades na obtenção de pólens inteiros e não enrugados. As exinas foram parcialmente destruídas e, sómente, os fragmentos puderam ser observados. Para evitar o sucedido, diminuimos a temperatura (o máximo foi de 75°C) ou, nos casos mais delicados, deixamos o material a frio, durante 30 minutos, dentro da mistura de acetólise. A coloração, nos de maior fragilidade, teve de ser feita com duas gôtas de safranina aquosa (para 5 ml de água destilada), a frio e sem KOH. Não houve, em geral, necessidade de clorar ou de diafanisá-los, evidentemente os de *Drimys* e *Virola*, mais compactos e resistentes, tiveram de sofrer tal tratamento.

WODEHOUSE: Seguimos o método com duas alterações; na primeira, em vez de gelatina glicerinada usamos, após a desidratação, o bálsamo do canadá, e, na segunda, empregamos nas colorações a safranina em vez de verde metila ou violeta de gentiana. Obtivemos, também, bons resultados em outro material com uma coloração de verde de luz em óleo de cravos.

ESTATÍSTICA: Empregamos, na parte da mensuração, o método para o desvio padrão da média, medindo sempre as dimensões de 30 exemplares.

DESENHOS: Foram executados em microscópio "Reichert", os pólens inteiros com pequenos aumentos e os detalhes da superfície e da exina com grande aumento.

MICROFOTOGRAFIAS: Temos que agradecer ao Dr. Rudolf Barth e à Carl Zeiss & Cia. pelo auxílio prestado nas fotografias aqui apresentadas.

DESCRIÇÕES DAS ESPÉCIES

MAGNOLIACEAE DC.

Talauma ovata St. Hil. N. vulgar: Baguaçu
 (Fig. 1 a-e; est. 1, figs. 1-2)

Forma dos pólens: Elipsoidais (ligeiramente achatados na parte lateral) e heteropolares. Apresentam um sulco (sulcus, POTONIÉ, 1934) no pólo distal que se encontra em duas posições: convexa, quando estão distendidos ou, quando turgidos, completamente esticados; côncava, quando estão um pouco enrugados ou se encontram na condição de desidratação, caso em que o sulco apresenta-se localizado para dentro, de modo que lateralmente há duas paredes mais elevadas que o limitam.

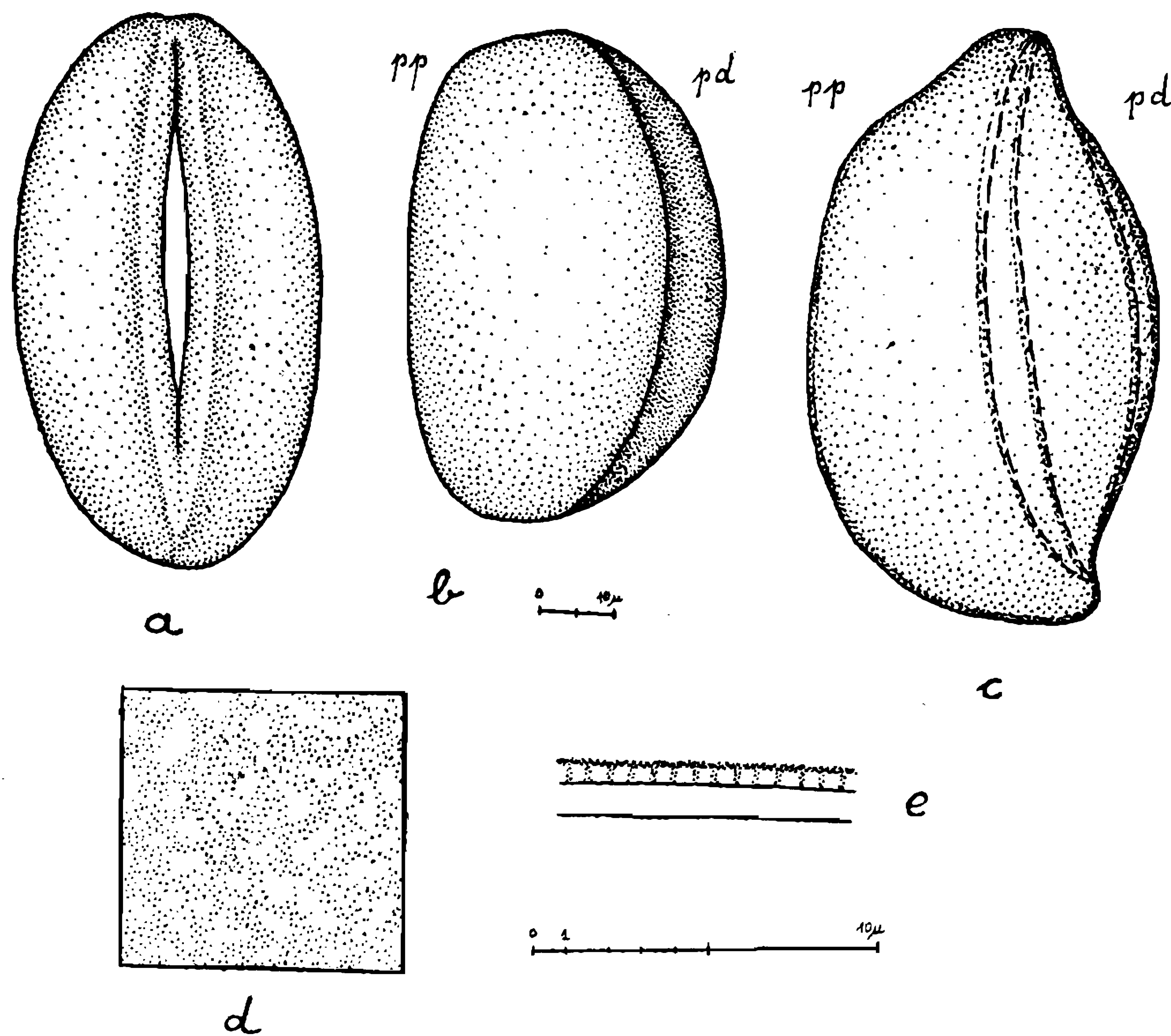


Fig. 1 — *Talauma ovata* St. Hil.: a) pôlem inteiro, vendo-se seu sulco distal; b) pôlem turgido; c) pôlem bastante desidratado (notar a posição do sulco); d) superfície; e) exina, vendo-se em pp = região proximal e pd = região distal.

Estratificação da exina: A nexina é ligeiramente mais espessa que a sexina. As subdivisões de ambas não são nítidas. Sexina quase sem estruturas características, parecendo ser lisa com pequeno aumento. A partir de 1000 vezes ela é finamente granulada, sendo talvez tectada

(tegillate). Há uma inversão de claro e escuro quando se passa do L.O. alto ao baixo. No desenho são representados da mesma forma.

Dimensões dos pólens: a) Acetólise: comprimento = $99,06 \pm 1,02$ ($78,72 - 108,24$) μ ; largura = $52,9 \pm 0,95$ ($45,9 - 68,88$) μ . b) Wodehouse: comprimento = $76,75 \pm 0,42$ ($72,16 - 81,5$) μ ; largura = $43,85 \pm 0,42$ ($39,36 - 48,7$) μ .

Caracteres gerais: Pólens bastante delicados. Tanto na preparação de Wodehouse quanto na acetólise, enrugam e perdem facilmente o seu conteúdo protoplasmático. As diferenças de tamanho entre os pólens preparados pelos dois processos, são sensíveis e muito significativas, devido à sua grande fragilidade.

Drimys brasiliensis Miers. **N. vulgar: Casca d'anta**

(Fig. 2 a-g; est. 1, figs. 3-5)

Forma dos pólens: Heteropolares, geralmente reunidos em tétradas, com uma abertura, denominada ulcus (ERDTMAN, 1952), no pólo distal, de contorno mais ou menos irregular. A estrutura característica da exina encontra-se sómente na parte distal, sendo que na parte proximal há uma membrana muito fina, completamente lisa e transparente. A exina atinge sua altura máxima na zona equatorial. Daí em diante diminui de espessura em direção ao pólo proximal e ao ulcus, sendo que este por sua vez é também contornado por área quase lisa, fina e irregularmente granulada. Eles são reticulados com murículos (muri, POTONIÉ, 1934) constituídos por série irregular e simples de bacula (POTONIÉ, 1934), — "simplibaculate".

Estratificação da exina: Sexina duas a três vezes mais espessa que a nexina. Esta com nítida subdivisão, sendo a endonexina bem mais espessa que a ectonexina. Na sexina os murículos são formados por fileira, um pouco irregular, de bácula separadas na endosexina e unidas na ectosexina, constituindo aí uma camada contínua de superfície ondulada. Na região proximal do pólem, a estratificação é obscura e a superfície é lisa.

Dimensões dos pólens: a) Acetólise: diâmetro das tétradas = $44,44 \pm 0,46$ ($39,36 - 49,2$) μ ; diâmetro do ulcus = $7,51 \pm 0,21$ ($4,9 - 9,8$) μ ; diâmetro da área em torno do ulcus = $16,0 \pm 0,23$ ($11,5 - 18,0$) μ ; diâmetro do pólem isolado, medido sempre na posição em que o ulcus se encontra voltado para cima, isto é, visto pelo pólo distal = $33,1 \pm 0,26$ ($31,16 - 36,1$) μ . A altura do murículo é aproximadamente $2,88 \mu$. O diâmetro dos lúmens (lumina, POTONIÉ, 1934) do retículo tende de $2,16$ até $4,32 \mu$. b) Wodehouse: diâmetro das tétradas = $36,1 \pm 0,5$ ($32,8 - 39,36$) μ .

A diferença entre os diâmetros médios das tétradas (métodos de acetólise e Wodehouse) é altamente significativa.

Caracteres gerais: Pólens bastante resistentes, sempre agrupados em tétradas, encontrando-se um ou outro isolado. Os murículos do retículo são altos e o diâmetro dos lúmens diminui em direção ao pólo proximal.

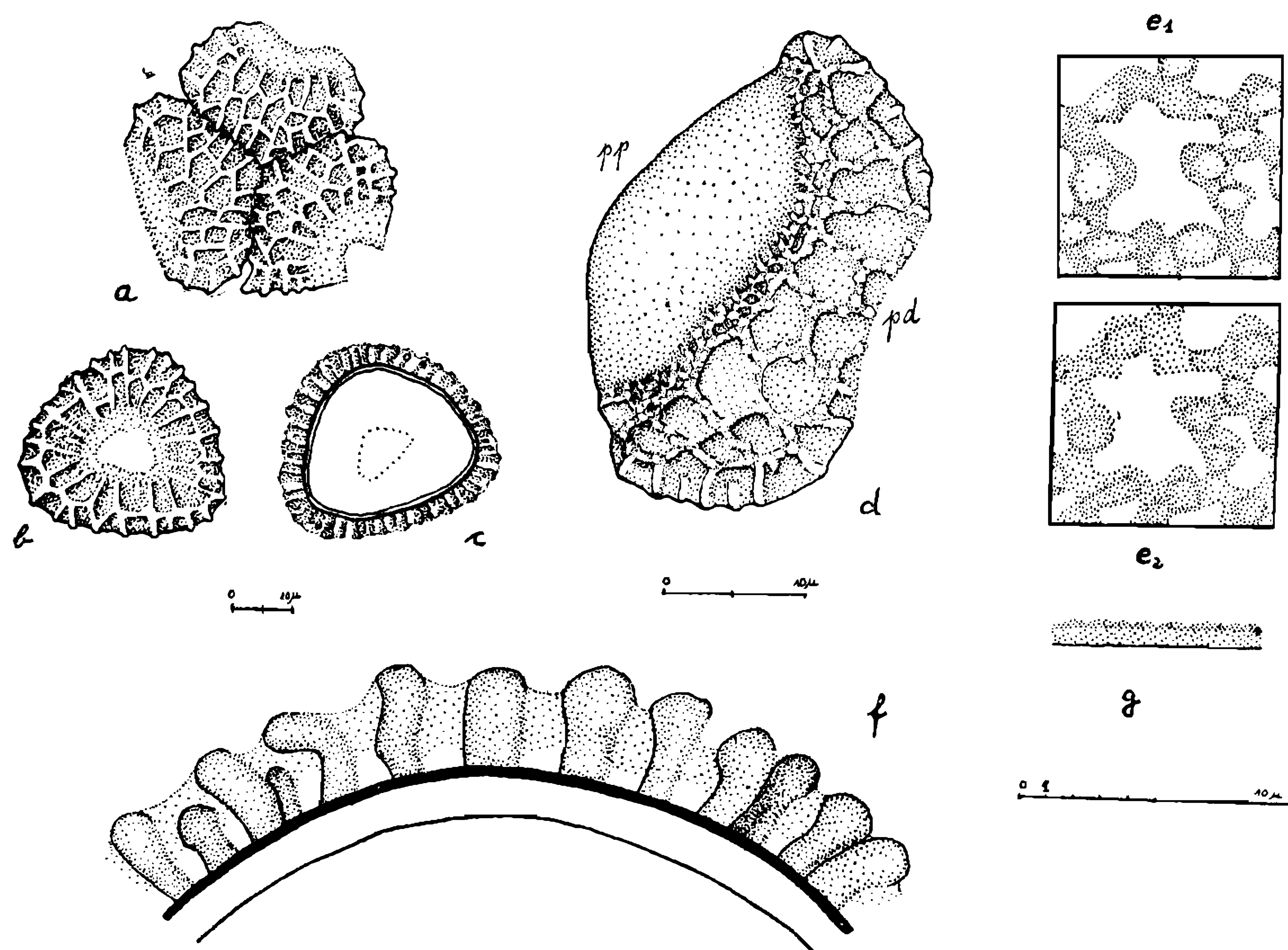


Fig. 2 — *Drimys brasiliensis* Miers.: a) três pólens de uma tétrada; b) pólen inteiro visto pela região distal; c) idem, num corte óptico pela região equatorial; d) pólen inteiro, com maior aumento, vendo-se: pp = pólo proximal e pd = pólo distal; e) superfície: e₁ = L. O. alto e e₂ = L. O. baixo; f) exina da região equatorial; g) exina da região proximal.

Observações: Para fins de comparação foi preparada a espécie *Drimys winteri*, procedente da Pedra do Sino em Teresópolis (RJ), a uma altitude de 2150 metros. Pela acetólise o diâmetro da tétrada é de $43,72 \pm 0,65$ ($36,1 - 49,2$) μ , discordando dessa maneira de ERDTMAN (1952), que indica como diâmetro aproximadamente 50μ . De acordo com as medidas, a diferença entre os diâmetros das tétradas de *D. brasiliensis* e *D. winteri* não é significativa, de modo que não é possível diferenciar as duas espécies pelo tamanho. Além disto também não foi possível distinguí-las nas preparações microscópicas. A disposição baculada no retículo é a mesma em ambas. Há ligeiras diferenças, mas que não parecem ser bastante significativas, tais como: *D. winteri* tem as bácula mais distantes; o diâmetro dos ápices são maiores; os pólens

são mais escuros em preparação aquosa. Portanto, provavelmente, nosso material pertence a uma mesma espécie. O material visto por ERDTMAN (1952) é talvez de uma espécie diferente da nossa, lembrando que ele trabalhou com material proveniente de espécie cultivada em Copenhagen.

DISCUSSÃO DAS ESPÉCIES DE *Magnoliaceae* s. lat. EXAMINADAS

Os pólens das duas espécies examinadas são completamente diferentes. A estrutura da exina de *Drimys* é bem mais complexa e resistente que a de *Talauma*.

LAURACEAE Lindl.

Nectandra rigida Nees

N. vulgar: Canela

(Fig. 3 a-c)

Forma dos pólens: Esferoidais, desprovidos de aberturas (nonapperturates), com uma exina muito fina e delicada, provida de espículos (spinulae, ERDTMAN, 1952) dispostos em fileiras oblíquas.

Estratificação da exina: Não é nítida e as camadas se confundem. Parece que há uma fina nexina, não subdividida, e uma sexina um pouco mais espessa e que suporta os espículos, aproximadamente tão largos na base quanto altos. A separação entre nexina e sexina também é obscura.

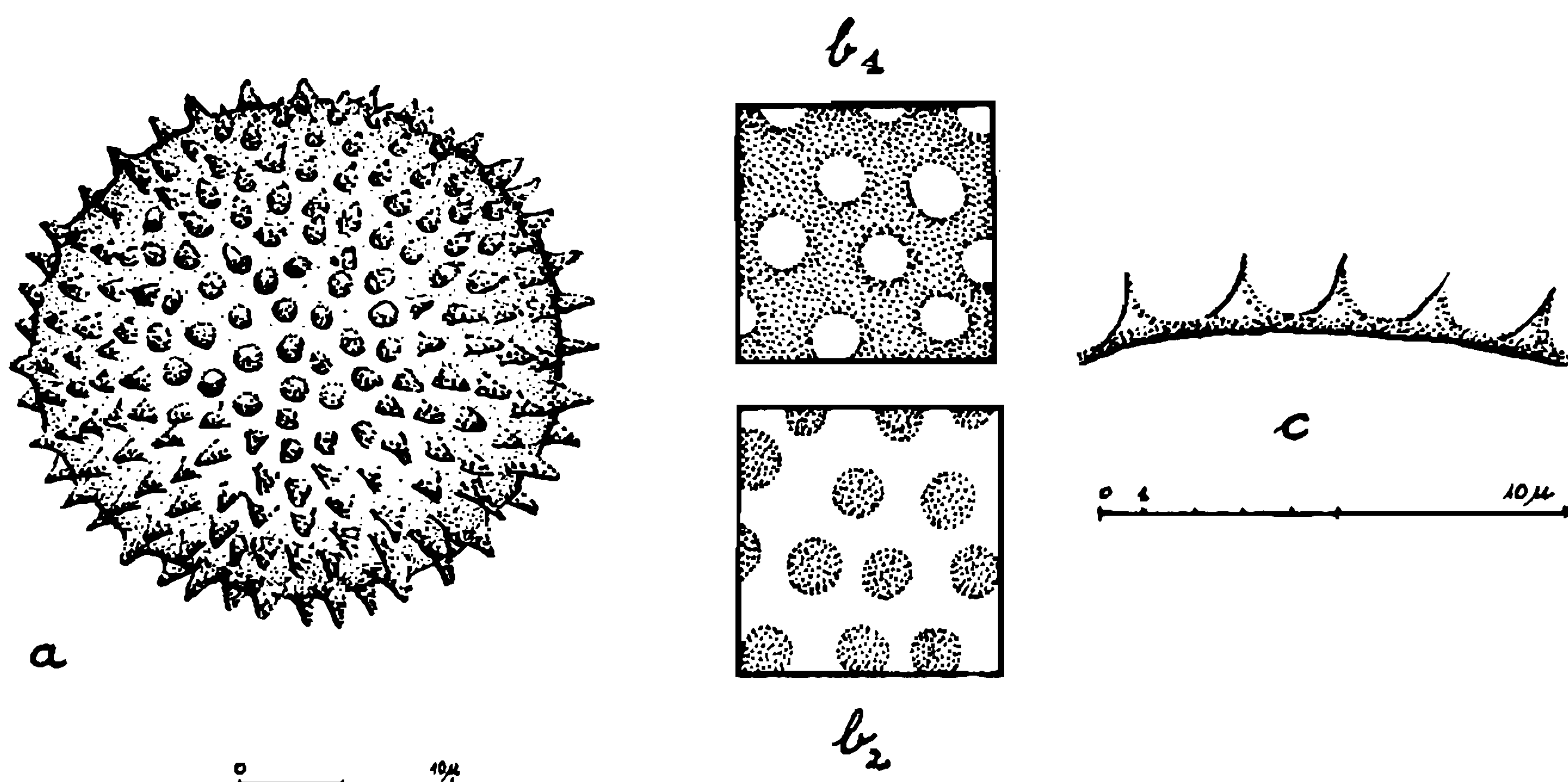


Fig. 3 — *Nectandra rigida* Nees.: a) pôlem inteiro; b) superfície: b₁ = L. O. alto e b₂ = L. O. baixo; c) exina.

Dimensões dos pólens: a) Acetólise: diâmetro = $27,2 \pm 0,27$ (24,6 — 31,16) μ. Os espículos têm uma altura de 1,44 até 1,73 μ. b) Wodehouse: diâmetro = $29,8 \pm 1,03$ (26,26 — 34,44) μ.

Observações: Os pólens são tão finos e delicados que facilmente enrugam e quebram, sendo por isto preferível, na acetólise, usar uma

temperatura baixa para obtê-los inteiros, embora tenham ainda o conteúdo protoplasmático no centro. Isto não prejudica a sua observação, pois êles são bem transparentes. Não há necessidade de corar o material. Elevando-se a temperatura demasiadamente, só obtemos na lâmina o conteúdo celular em forma esférica, com ausência total das exinas.

Endlicheria paniculata (Spreng.) Macbr. N. vulgar: Canela frade
(Fig. 4 a-c)

Forma dos pólenes: Típica.

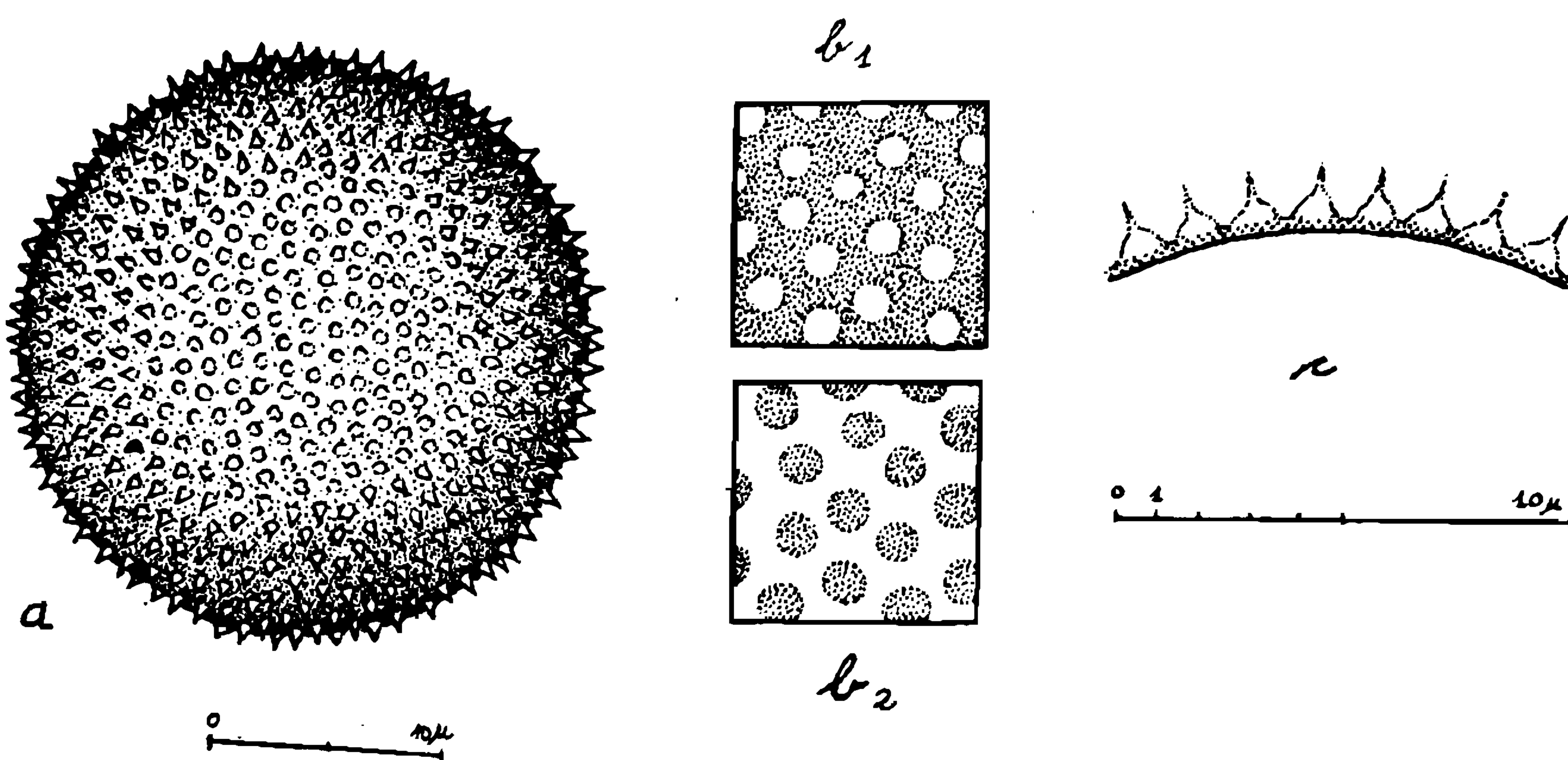


Fig. 4 — *Endlicheria paniculata* (Spreng) Macbr.: a) pôlem inteiro; b) superfície: b₁ = L.O. alto e b₂ = L. O. baixo; c) exina.

Estratificação da exina: Também é obscura. A nexina parece com uma membrana basal, fina e muito densa, sobre a qual se apoiam os espículos da sexina. Estes possuem uma ponta muito fina e transparente, por isto são pouco visíveis, e assim à primeira vista se assemelham muito a bácula. Os espículos são pequenos e muito numerosos.

Dimensões dos pólenes: a) Acetólise: diâmetro = $24,6 \pm 0,3$ (22,96 — 26,24) μ . A distância entre os centros de dois espículos é aproximadamente de 1,64 μ . b) Wodehouse: diâmetro = $18,47 \pm 0,35$ (16,4 — 21,32) μ .

Aiouea saligna Meissn. N. vulgar: Canela
(Fig. 5 a-c)

Forma dos pólenes: Típica.

Estratificação da exina: Idem.

Dimensões dos pólens: a) Acetólise: diâmetro = $22,4 \pm 0,19$ ($20,16 - 25,2$) μ . Os espículos são menores do que $1,44 \mu$. b) Wodehouse: diâmetro = $18,37 \pm 0,28$ ($15,84 - 23,04$) μ .

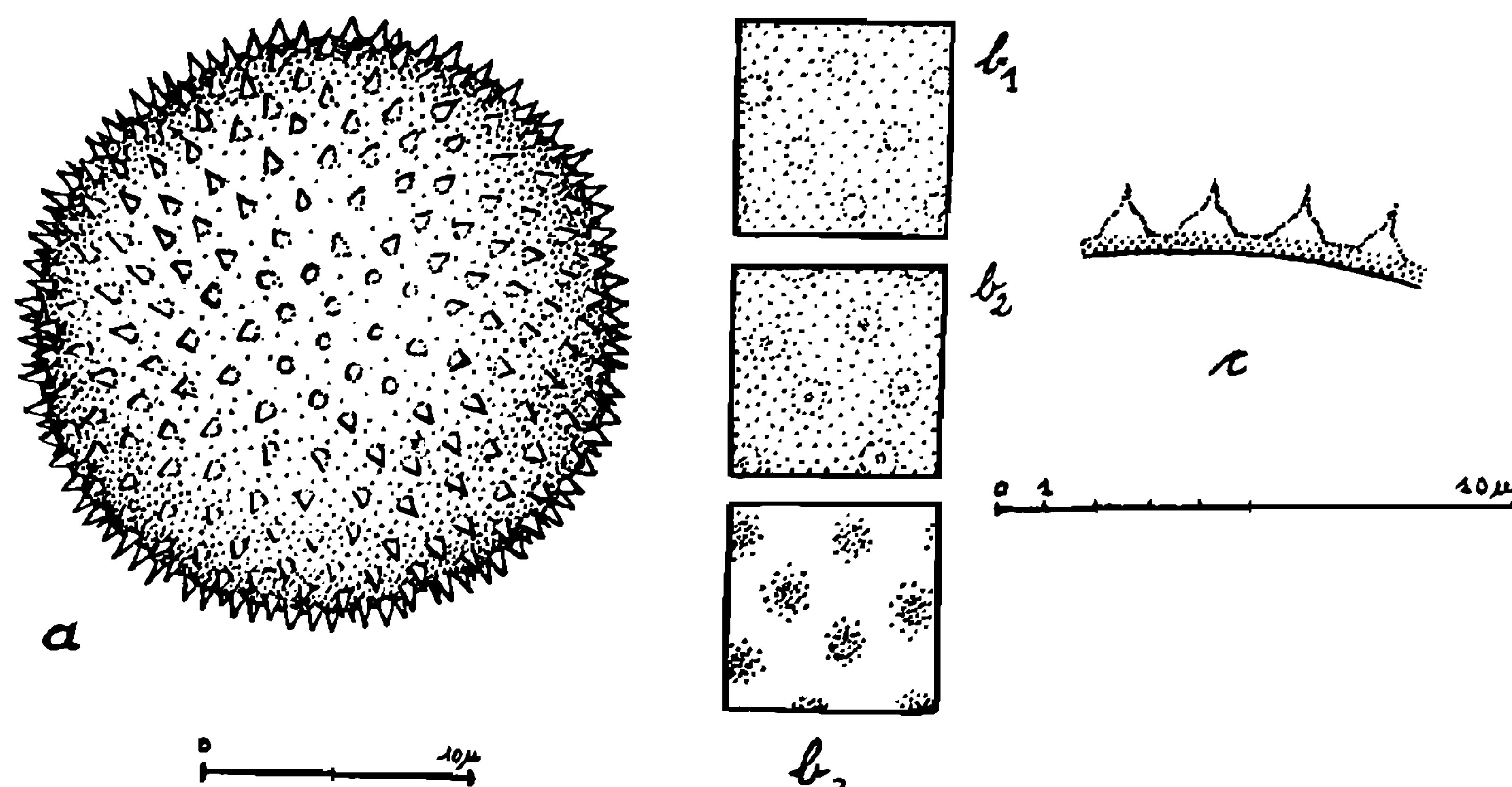


Fig. 5 — *Aioea saligna* Meissn.: a) pôlem inteiro; b) superfície: b_1 = L. O. alto e b_2 = L. O. baixo; c) exina.

Aniba firmula (Nees & Mart.) Mez
(Fig. 6 a-c)

N. vulgar: Canela

Forma dos pólens: Típica.

Estratificação da exina: Idem.

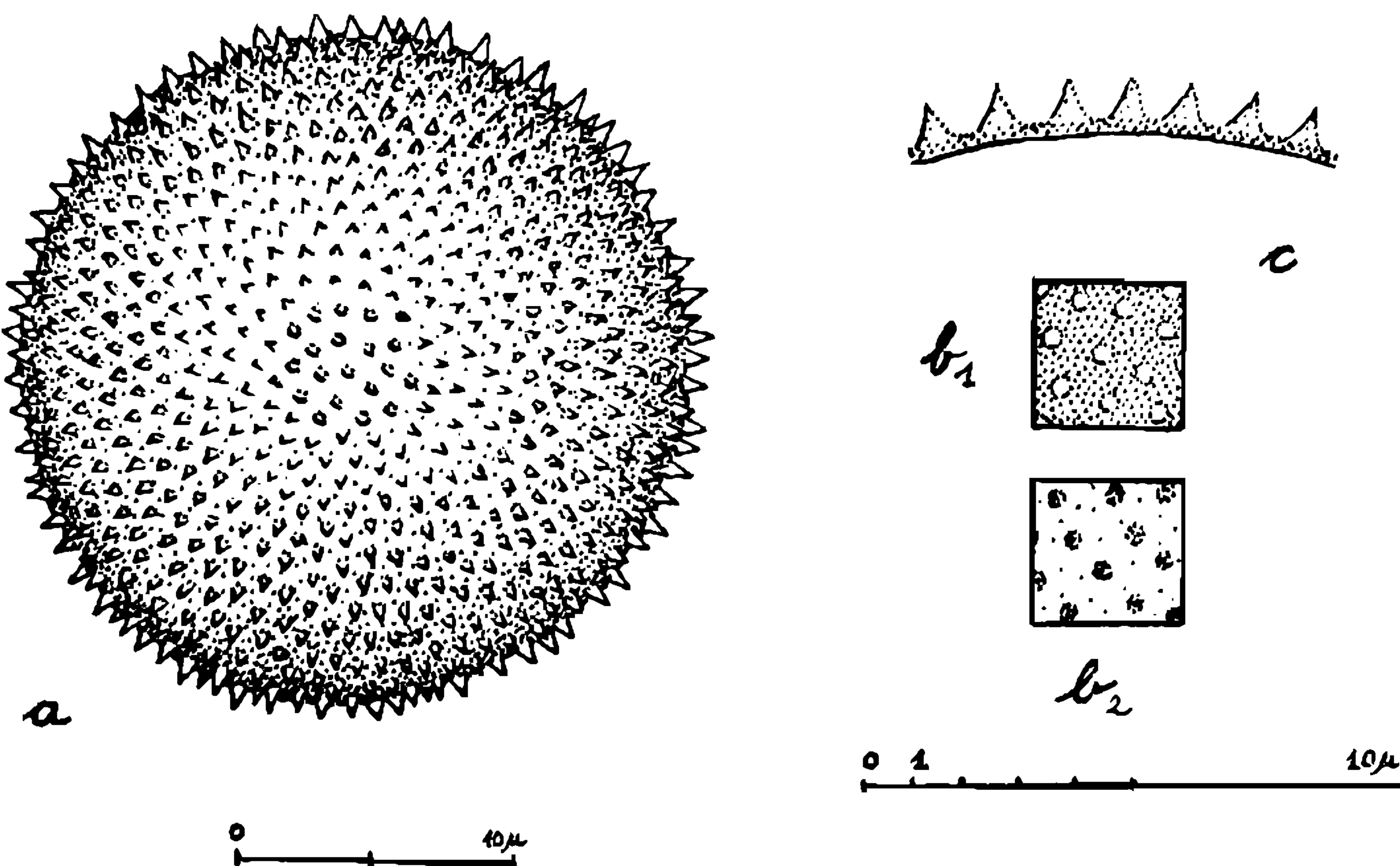


Fig. 6 — *Aniba firmula* (Nees & Mart.) Mez: a) pôlem inteiro; b) superfície: b_1 = L. O. alto e b_2 = L. O. baixo; c) exina.

Dimensões dos pólens: a) Acetólise: diâmetro: = $23,91 \pm 0,33$ ($21,3 - 26,24$) μ . b) Wodehouse: diâmetro = $17,97 \pm 0,26$ ($14,76 - 19,68$) μ .

Persea racemosa (Vell.) Mez
(Fig. 7 a-c)

Forma dos pólenes: Típica.

Estratificação da exina: Idem.

Dimensões dos pólenes: a) Acetólise: diâmetro = $37,5 \pm 0,28$ ($34,4 - 39,36$) μ . b) Wodehouse: diâmetro = $25,8 \pm 0,22$ ($24,48 - 28,8$) μ .

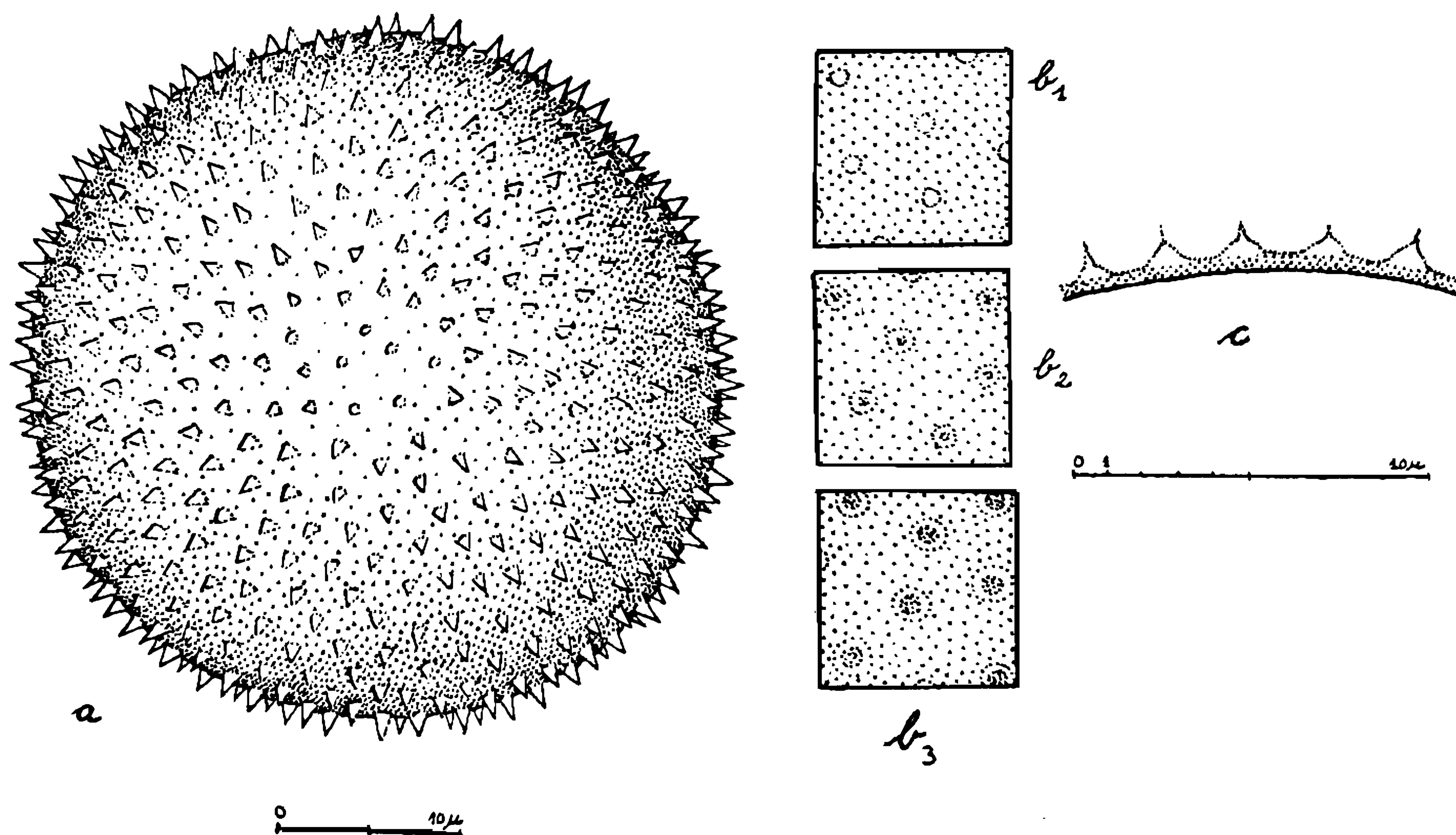


Fig. 7 — *Persea racemosa* (Vell.) Mez: a) pólem inteiro; b) superfície: b₁ = L. O. alto e b₂ = L. O. baixo; c) exina.

Observações: A espécie é consideravelmente maior do que as demais da família *Lauraceae*.

Ocotea aciphylla (Nees) B. & H.
(Fig. 8 a-c)

Forma dos pólenes: Típica.

Estratificação da exina: Idem.

Dimensões dos pólenes: a) Acetólise: diâmetro = $25,3 \pm 0,37$ ($22,96 - 31,16$) μ . Alturas e diâmetros da base dos espículos são mais ou menos iguais a $1,44 \mu$. A distância entre dois espículos é de $\pm 2,52 \mu$.

b) Wodehouse: diâmetro = $32,87 \pm 0,36$ (29,52 — 36,08) μ . A distância entre os centros de dois espículos é de 3,28 μ .

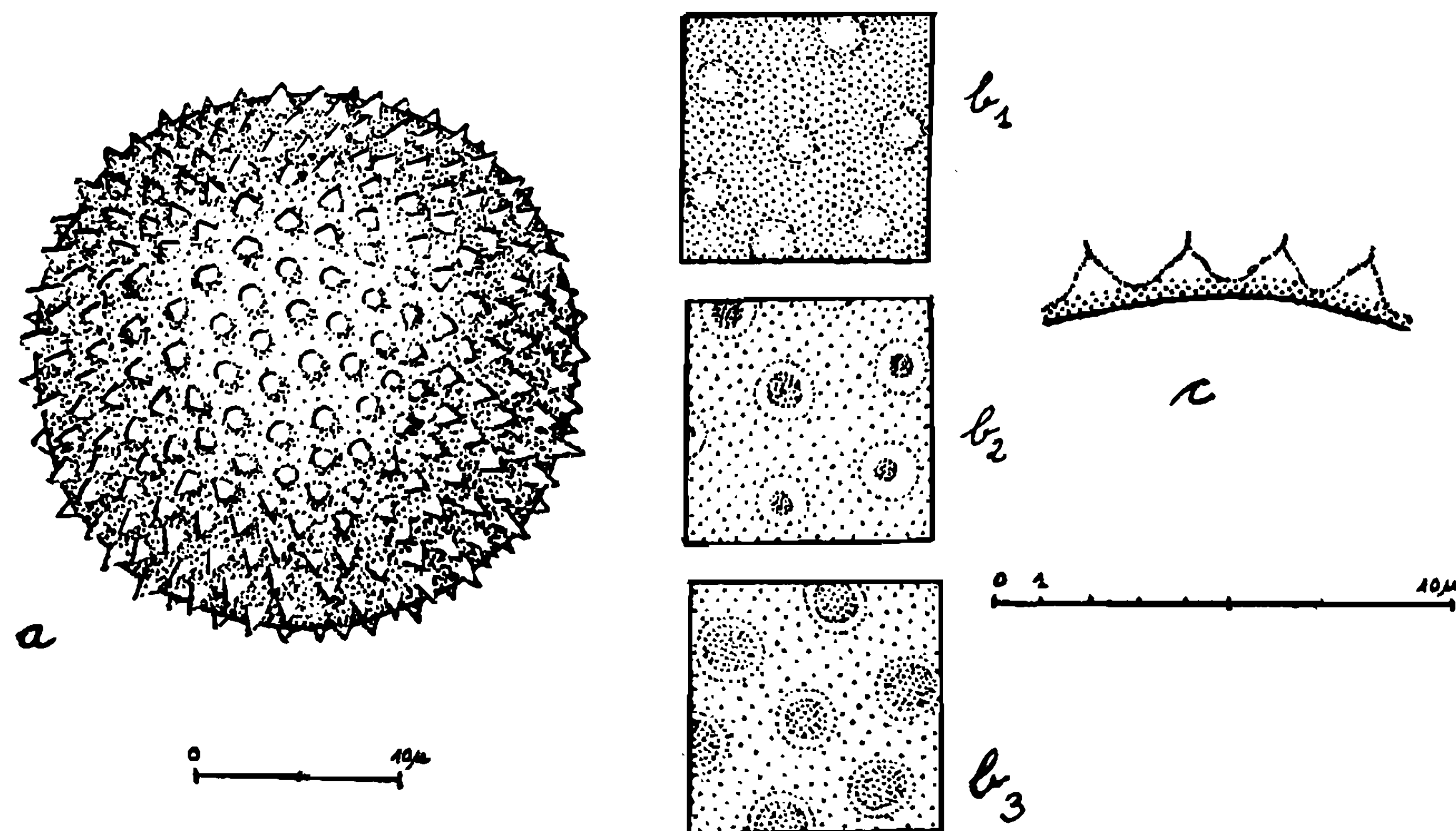


Fig. 8 — *Ocotea aciphylla* (Nees) B. & H.: a) pôlem inteiro; b) superfície: b₁ = L. O. alto e b₂ = L. O. baixo; c) exina.

Ocotea bicolor Vatt. N. vulgar: Canela
 (Fig. 9 a-c; est. 1, figs. 6-8)

Forma dos pólens: Típica. Esferoidais, sem aberturas, providos de espículos. Estes são grandes, salientes, com grandes distâncias entre si

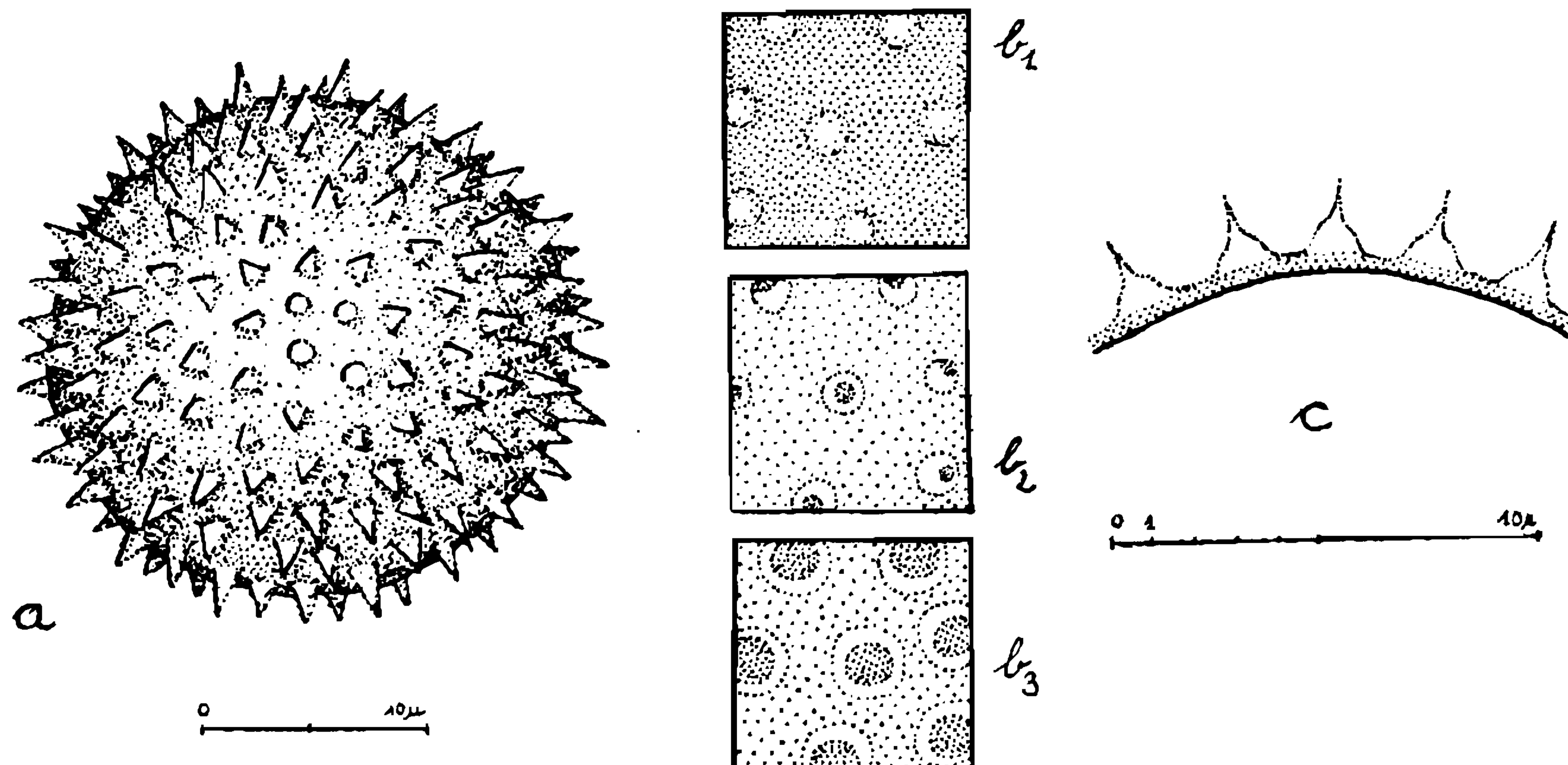


Fig. 9 — *Ocotea bicolor* Vatt.: a) pôlem inteiro; b) superfície: b₁ = L. O. alto e b₂ = L. O. baixo; c) exina.

e pouco numerosos. Desta maneira, êstes pólens, diferem, juntamente com *Nectandra rigida*, das demais espécies examinadas.

Estratificação da exina: Típica e algo obscura.

Dimensões dos pólenes: a) Acetólise: diâmetro = $24,4 \pm 0,2$ ($23,04 - 26,64$) μ . b) Wodehouse: diâmetro = $24,07 \pm 0,33$ ($21,32 - 27,88$) μ .

Observações: A referida espécie parece ser a mais resistente dentre as do gênero *Ocotea* que examinamos.

***Ocotea catharinensis* Mez**

N. vulgar: Canela preta

(Fig. 10 a-c)

Forma dos pólenes: Típica.

Estratificação da exina: Idem.

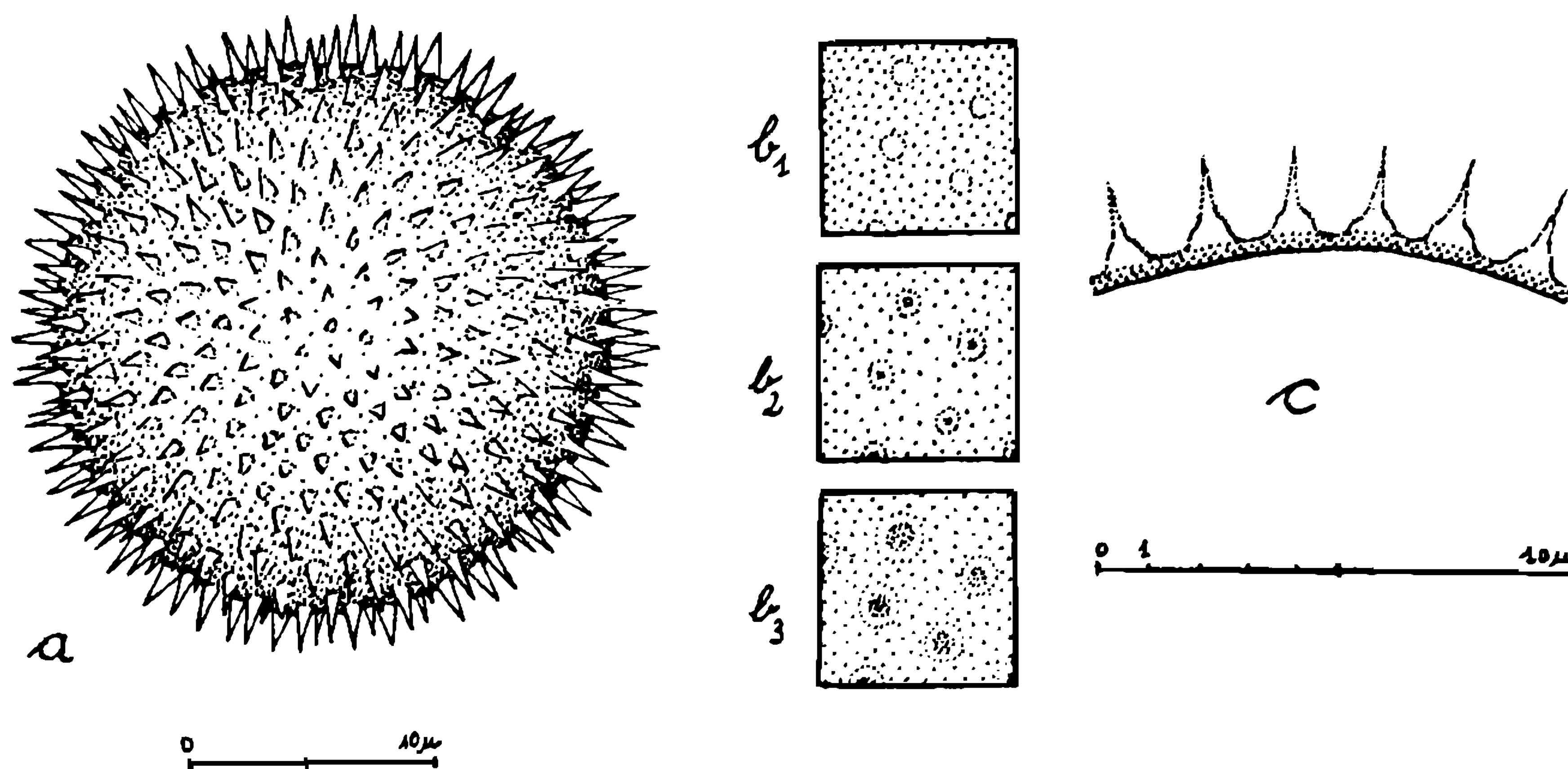


Fig. 10 — *Ocotea catharinensis* Mez: a) pôlem inteiro; b) superfície: $b_1 = L. O. alto$ e $b_2 = L. O. baixo$; c) exina.

Dimensões dos pólenes: a) Acetólise: diâmetro = $25,15 \pm 0,3$ ($20,16 - 27,36$) μ . Os espículos têm cerca de $1,7 \mu$ de altura. b) Wodehouse: diâmetro = $18,14 \pm 0,28$ ($14,76 - 21,32$) μ .

***Ocotea kuhlmanni* Vatt.**

N. vulgar: Canela burra

(Fig. 11 a-c)

Forma dos pólenes: Típica.

Estratificação da exina: Idem.

Dimensões dos pólenes: a) Acetólise: diâmetro = $30,37 \pm 0,42$ ($26,24 - 34,44$) μ . A altura dos espículos é de $\pm 1,9 \mu$. b) Wodehouse: diâmetro = $19,32 \pm 0,29$ ($16,4 - 21,32$) μ .

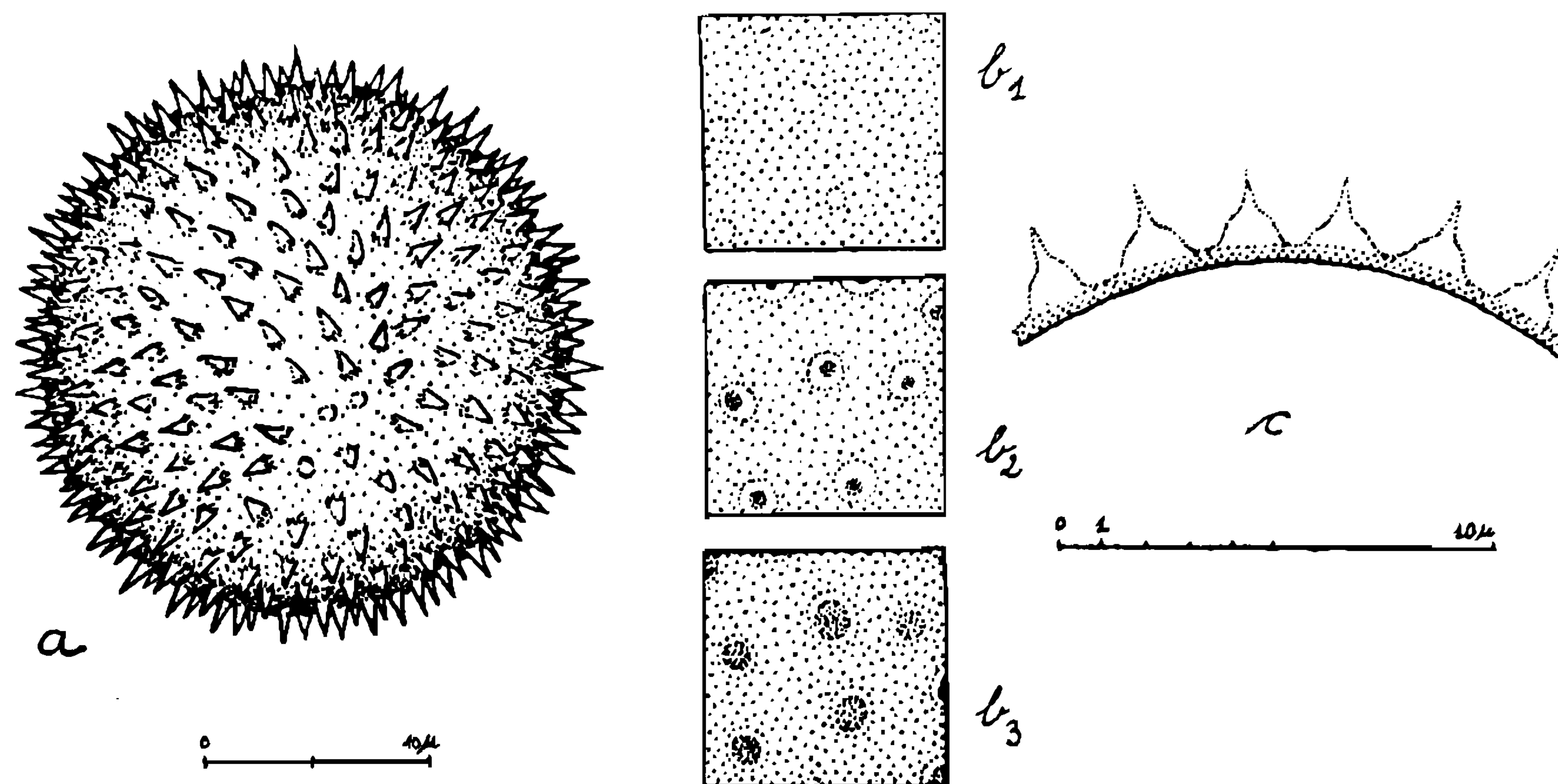


Fig. 11 — *Ocotea kuhlmannii* Vatt.: a) pôlem inteiro; b) superfície: b₁ = L. O. alto e b₂ = L. O. baixo; c) exina.

Ocotea minarum Mart. N. vulgar: Canela burra
(Fig. 12 a-c)

Forma dos pólens: Típica.

Estratificação da exina: Idem.

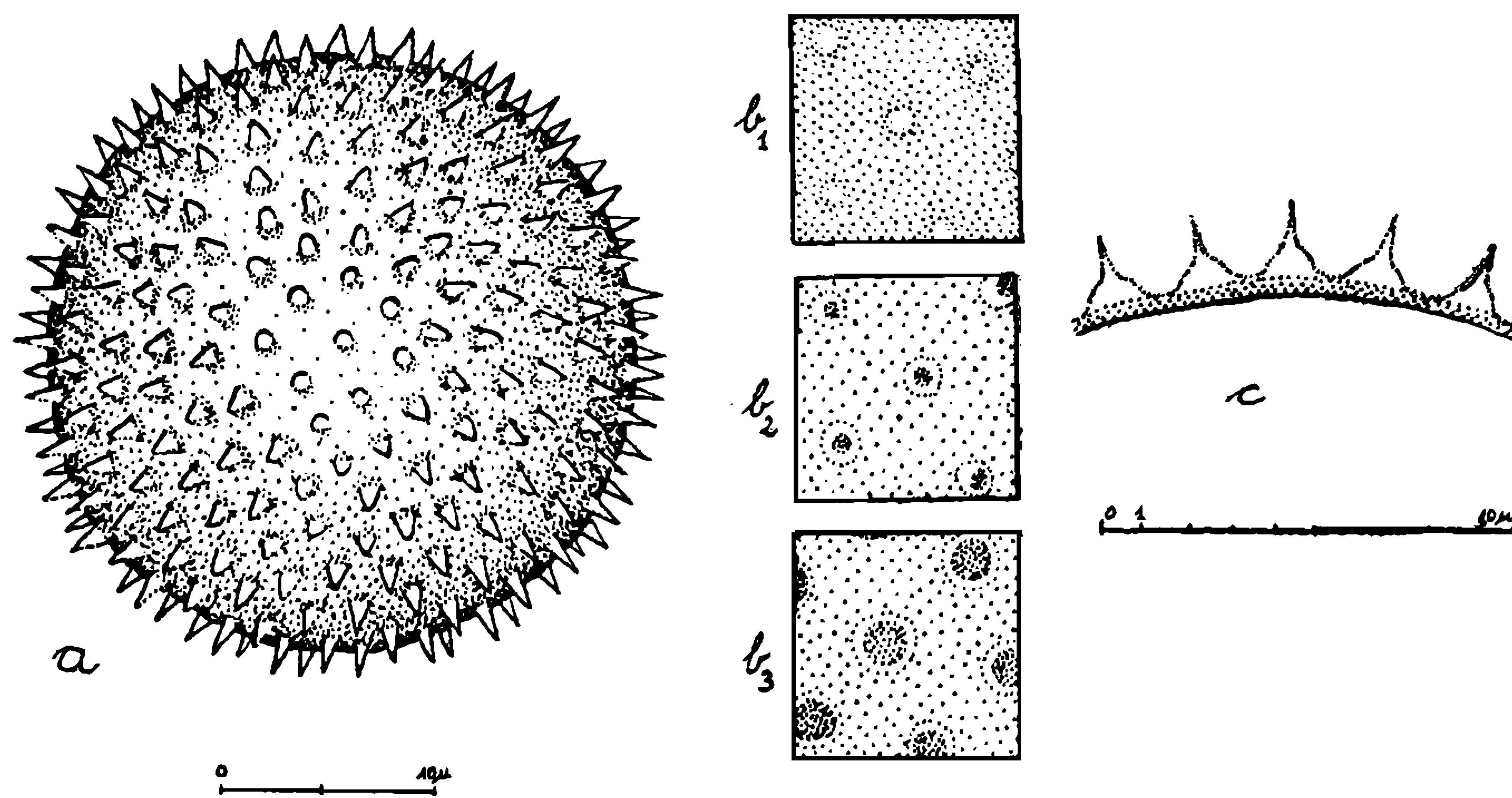


Fig. 12 — *Ocotea minarum* Mart.: a) pôlem inteiro; b) superfície: b₁ = L. O. alto e b₂ = L. O. baixo; c) exina.

Dimensões dos pólens: a) Acetólise: diâmetro = $28,76 \pm 0,42$ ($24,6 - 34,44$) μ. Os espículos têm uma altura de 1,44 até 1,8 μ. b) Wodehouse: diâmetro = $21,12 \pm 0,31$ ($18,04 - 24,6$) μ.

Ocotea pretiosa (Nees) Mez N. vulgar: Canela sassafraz
 (Fig. 13 a-c)

Forma dos pólens: Típica.

Estratificação da exina: Idem.

Dimensões dos pólens: a) Acetólise: diâmetro = $24,14 \pm 0,31$ ($22,96 - 27,88$) μ . Altura dos espículos = 1,8 até 2,16 μ . b) Wodehouse: diâmetro = $25,45 \pm 0,33$ ($22,96 - 27,88$) μ .

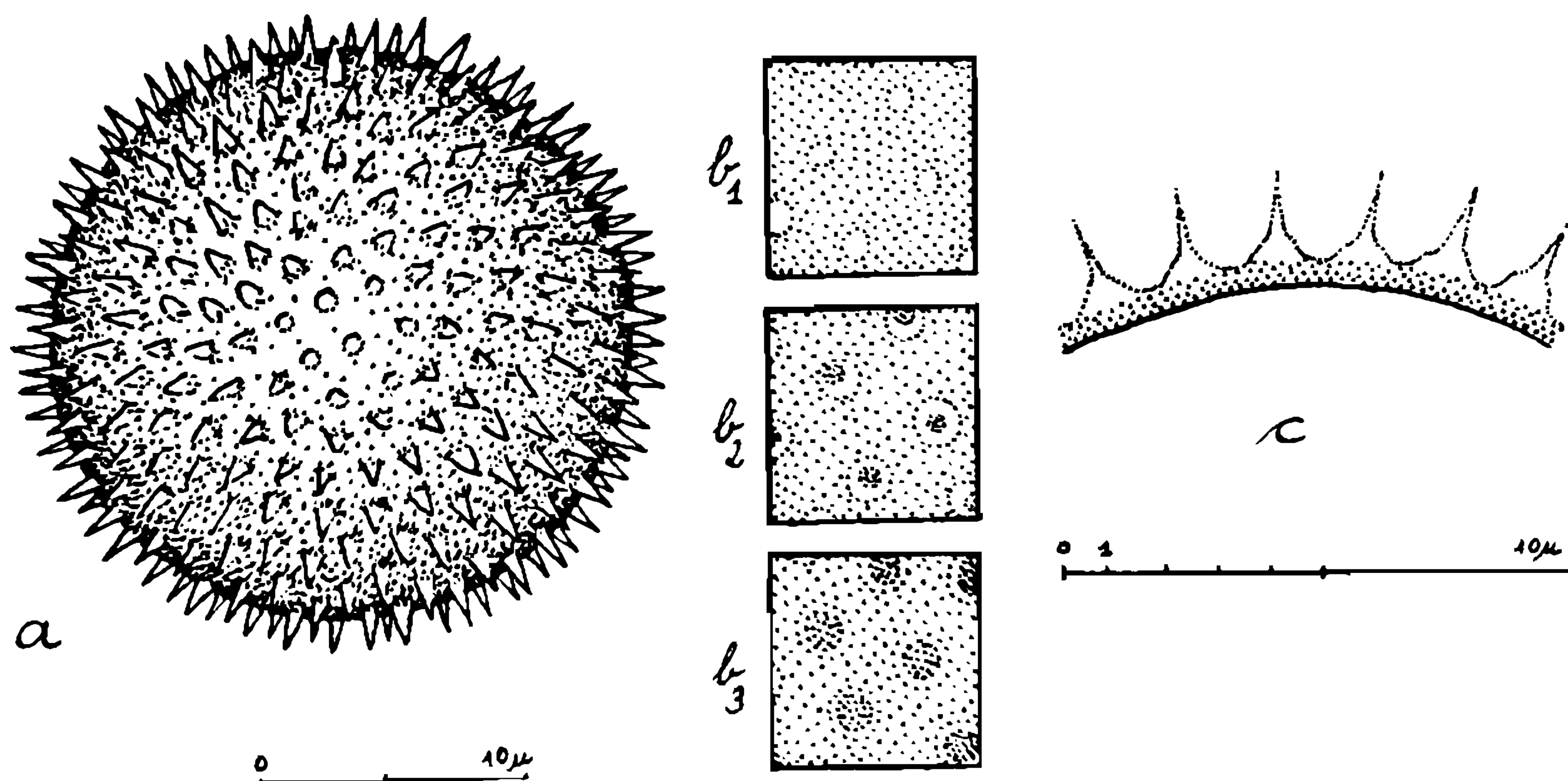


Fig. 13 — *Ocotea pretiosa* (Nees) Mez: a) pôlem inteiro; b) superfície: b_1 = L. O. alto e b_2 = L. O. baixo; c) exina.

Ocotea puberula Nees N. vulgar: Canela parda
 (Fig. 14 a-c)

Forma dos pólens: Típica.

Estratificação da exina: Idem.

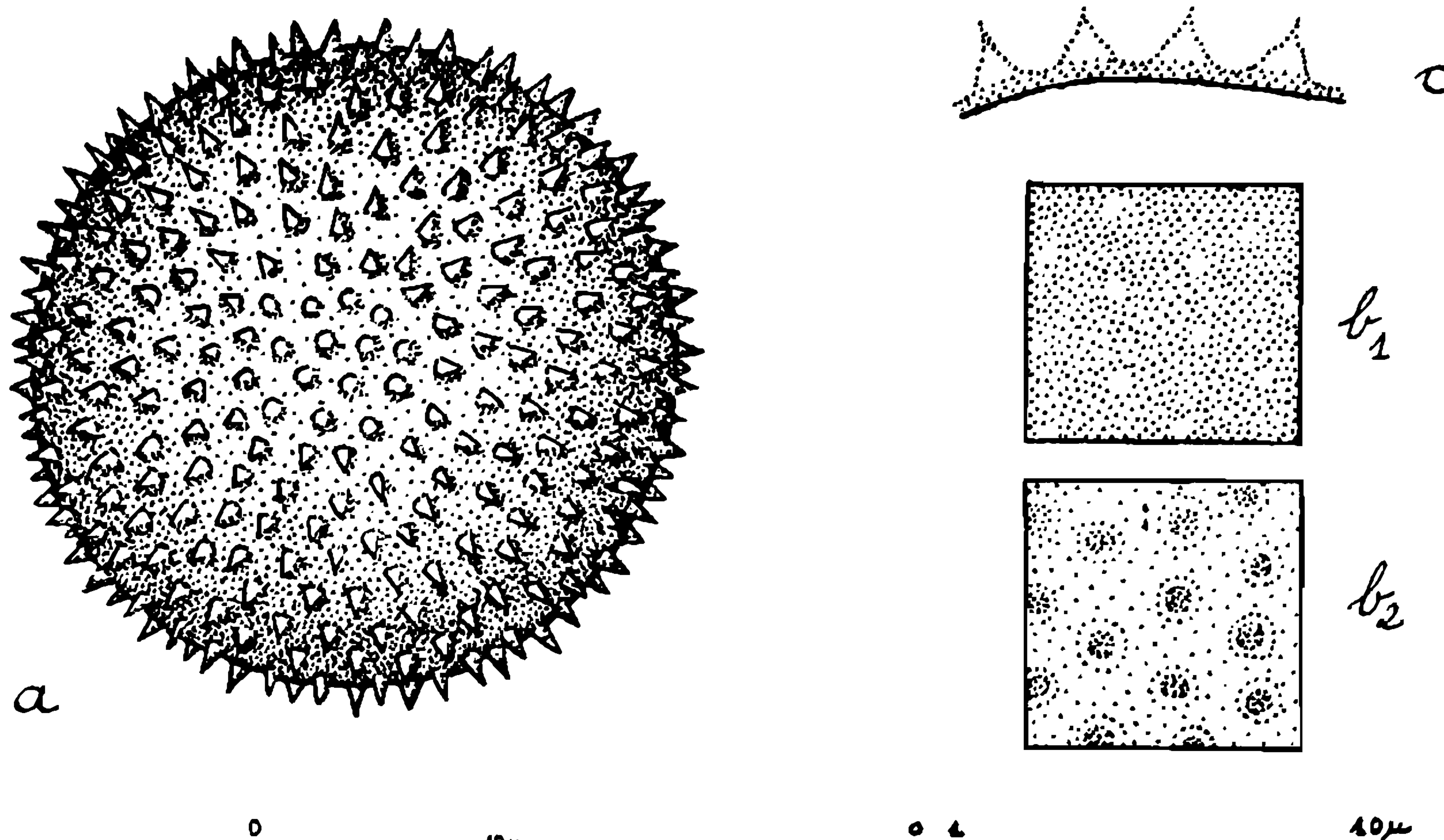


Fig. 14 — *Ocotea puberula* Nees: a) pôlem inteiro; b) superfície: b_1 = L. O. alto e b_2 = L. O. baixo; c) exina.

Dimensões dos pólens: a) Acetólise: diâmetro = $28,09 \pm 0,27$ ($24,48 - 30,96$) μ . b) Wodehouse: diâmetro = $19,02 \pm 0,27$ ($16,4 - 20,66$) μ .

Ocotea pulchella Mart. N. vulgar: Canela
(Fig. 15 a-c)

Forma dos pólens: Típica.

Estratificação da exina: Idem.

Dimensões dos pólens: a) Acetólise: diâmetro = $29,38 \pm 0,29$ ($27,36 - 33,12$) μ . Altura do espículo = $\pm 1,8 \mu$. b) Wodehouse: diâmetro = $19,57 \pm 0,53$ ($16,4 - 26,24$) μ .

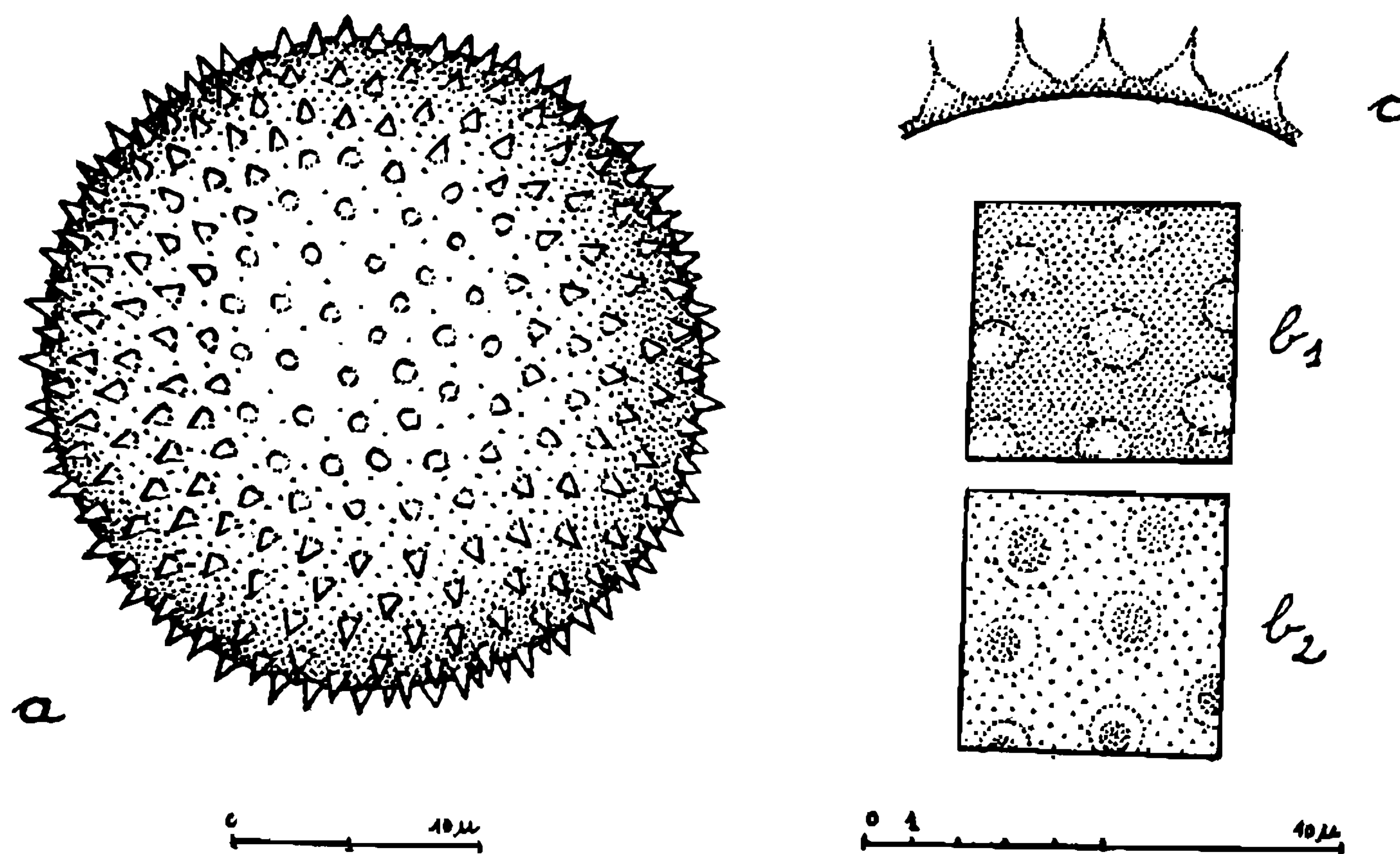


Fig. 15 — *Ocotea pulchella* Mart.: a) pôlem inteiro; b) superfície: b₁ = L. O. alto e b₂ = L. O. baixo; c) exina.

Ocotea rubiginosa Mez N. vulgar: Canela pimenta
(Fig. 16 a-c)

Forma dos pólens: Típica.

Estratificação da exina: Idem.

Dimensões dos pólens: a) Acetólise: diâmetro = $25,27 \pm 0,26$ ($23,04 - 27,36$) μ . Altura do espículo = $\pm 1,08 \mu$. b) Wodehouse: diâmetro = $18,4 \pm 0,4$ ($16,4 - 22,96$) μ .

Observações: Apresenta grande semelhança com os pólens de *Endlicheria paniculata*, sendo que ambos não podem ser distinguidos visual-

mente. *O. rubiginosa* parece ser mais delicado. As duas são indistinguíveis pelos diâmetros.

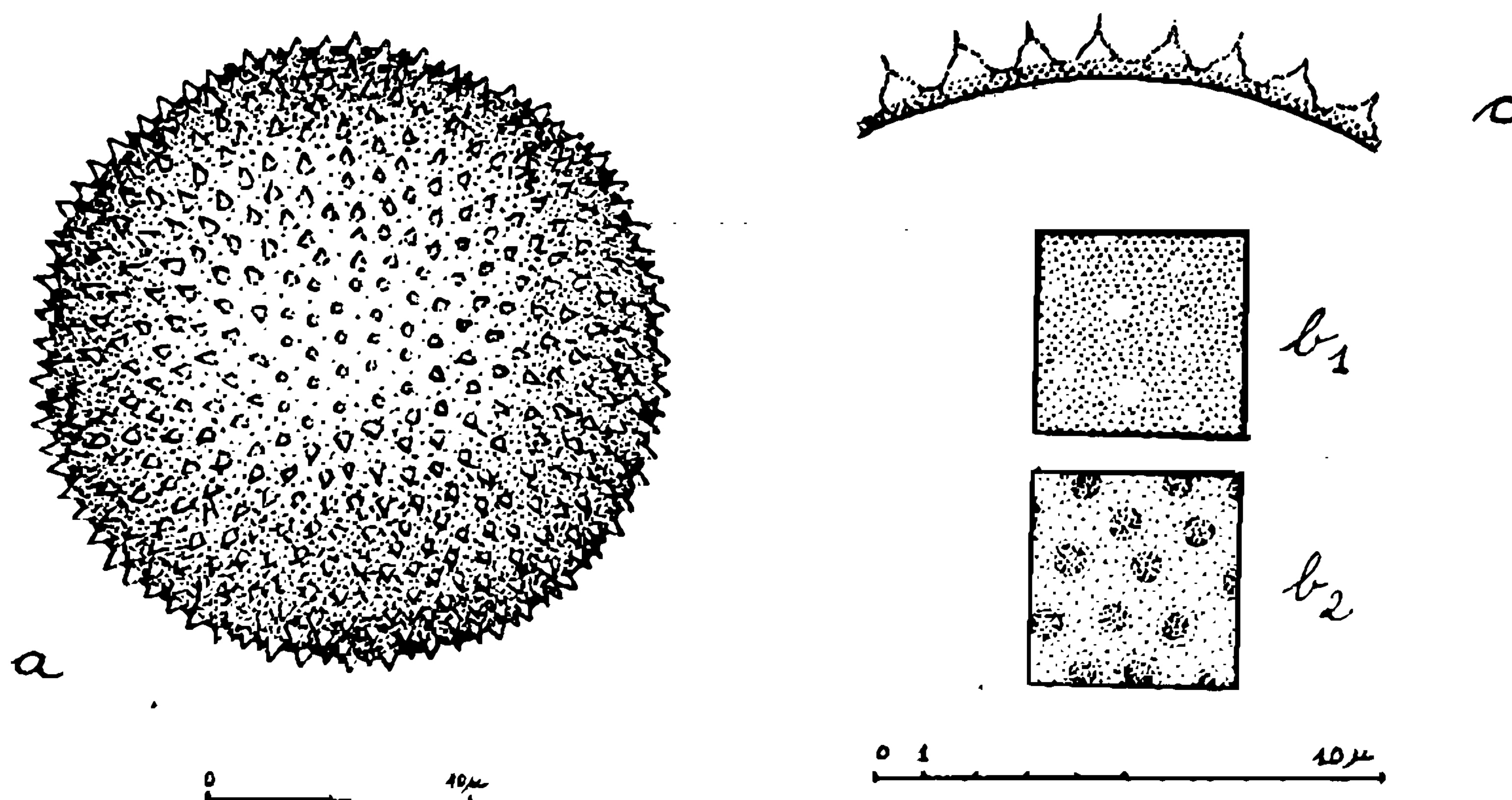


Fig. 16 — *Ocotea rubiginosa* Mez: a) pólem inteiro; b) superfície: b₁ = L. O. alto e b₂ = L. O. baixo; c) exina.

Ocotea teleiandra (Meissn.) Mez
(Fig. 17 a-c)

N. vulgar: Canela pimenta

Forma dos pólenes: Típica.

Estratificação da exina: Idem.

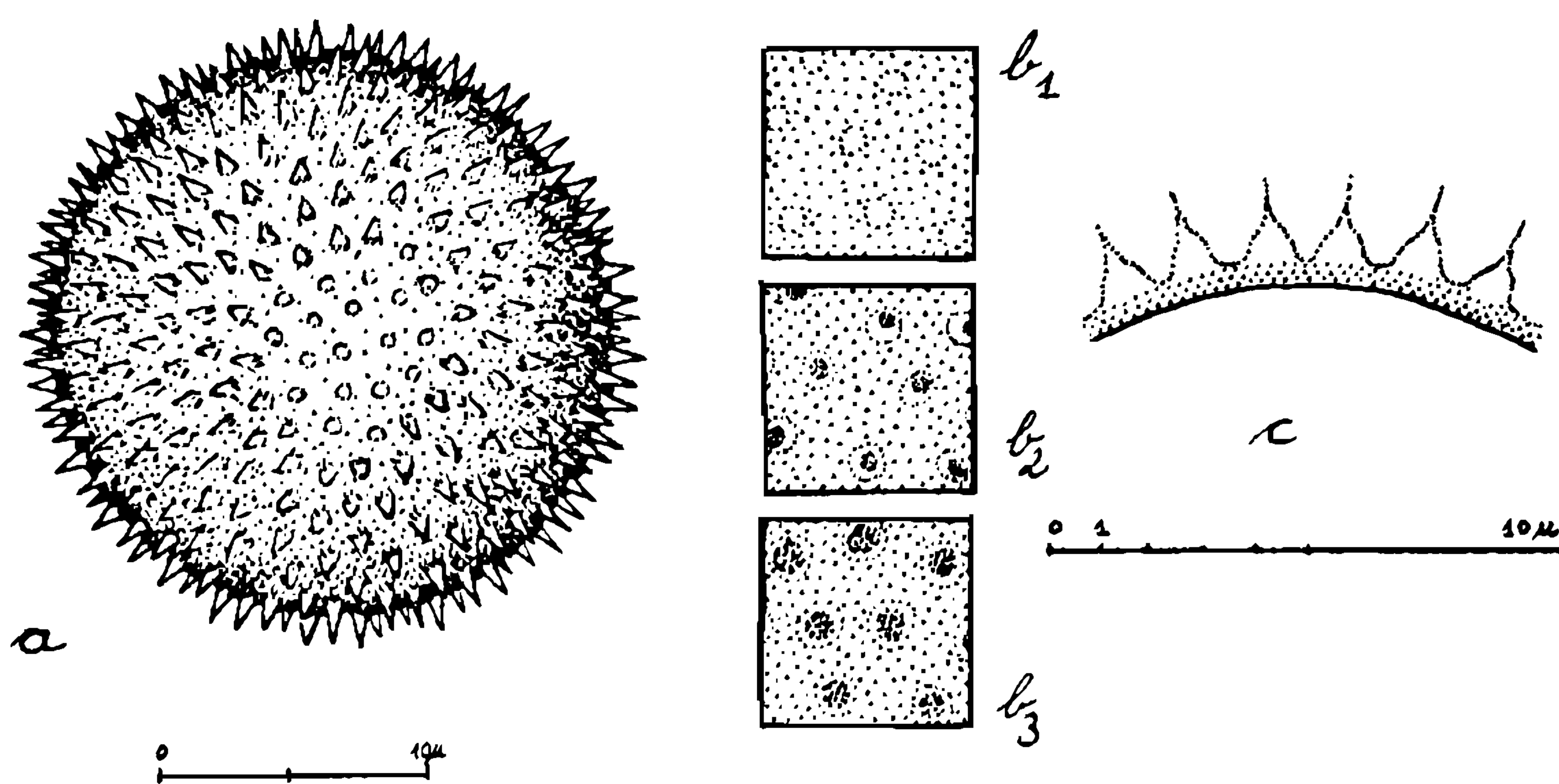


Fig. 17 — *Ocotea teleiandra* (Meissn.) Mez: a) pólem inteiro; b) superfície: b₁ = L. O. alto e b₂ = L. O. baixo; c) exina.

Dimensões dos pólenes: a) Acetólise: diâmetro = $22,4 \pm 0,25$ ($19,68 - 26,24$) μ . Altura dos espículos = $\pm 1,44 \mu$. b) Wodehouse: diâmetro = $16,99 \pm 0,2$ ($14,76 - 19,68$) μ .

Cryptocarya moschata Mart. N. vulgar: Canela fogo
(Fig. 18 a-c; est. 1, figs. 9-11)

Forma dos pólens: Esferoidais (não achatados) e desprovidos de aberturas (nonapperturates). Aparentemente lisos em pequeno aumento; distingue-se, a partir de 1000 vezes, uma leve reticulação nos corados que se deve a rachaduras na exina pois, ela é mesmo muito fina e delicada. A superfície em si é granulada.

Estratificação da exina: Como nas outras espécies, ela é obscura, mas parece ser tectada (tegillate). No L. O. pode-se perceber as bácula muito numerosas.

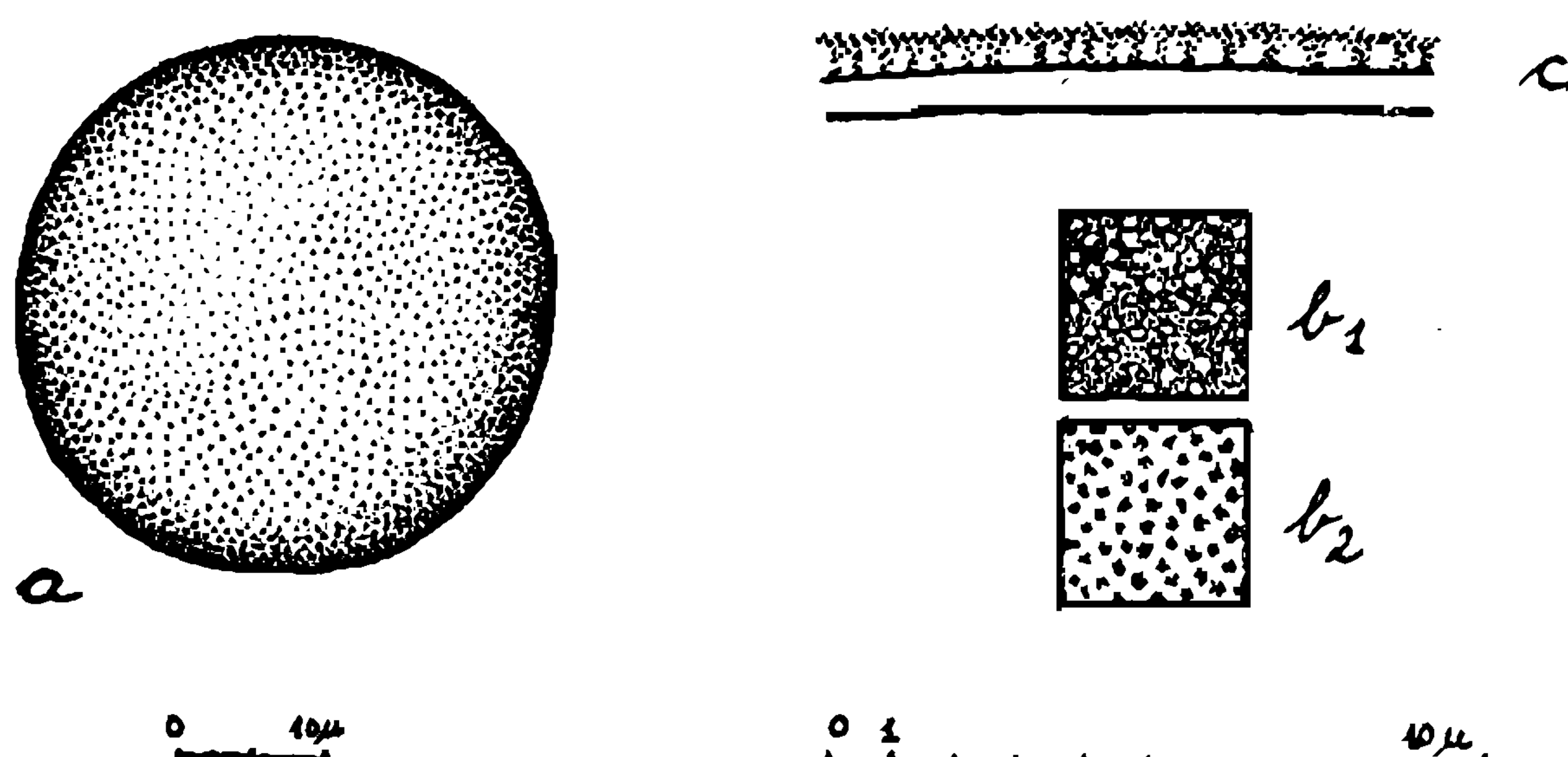


Fig. 18 — *Cryptocarya moschata* Mart.: a) pôlem inteiro; b) superfície: b₁ = L. O. alto e b₂ = L. O. baixo; c) exina.

Dimensões dos pólens: a) Acetólise: diâmetro = 33,62 ± 0,38 (31,16 — 36,08) μ. b) Wodehouse: diâmetro = 26,9 ± 0,44 (22,96 — 32,8) μ.

Observações: A primeira descrição do gênero encontra-se em SELLING (1946). Descrevendo *Cryptocarya manii* afirma que sua superfície é reticulada, ao passo que em *C. moschata* vimos que ela é lisa. Ele igualmente informa que nunca obteve pólens vazios e não enrugados. Obtivemos pólens inteiros, usando uma temperatura baixa pois, assim, o conteúdo protoplasmático é mantido no seu interior. Torna-se, então, difícil a estratificação da exina que, em seguida, pode ser analisada nos fragmentos. A *C. moschata* difere das demais Lauraceae examinadas por não apresentar espículos.

DISCUSSÃO DAS ESPÉCIES DE *Lauraceae* EXAMINADAS

A estrutura das exinas nas Lauraceae é muito simples. Uma distinção entre os diversos gêneros não é possível, exceto *Cryptocarya* que

apresenta uma estrutura bem diferente. Há uma variação quanto ao tamanho dos espículos que, entretanto, não se pode correlacionar com os gêneros.

Resumindo, temos:

Grupo 1 (com espículos)	A. numerosos	a) longos: <i>Ocotea kuhlmanni</i> , <i>O. teleandra</i> , <i>O. pretiosa</i> e <i>O. catharinensis</i> . b) médios: <i>Ocotea aciphylla</i> , <i>O. puberula</i> , <i>O. minarum</i> , <i>O. pulchella</i> e <i>Persea racemosa</i> . c) curtos: <i>Ocotea rubiginosa</i> , <i>Endlicheria paniculata</i> , <i>Aniba firmula</i> e <i>Aiouea saligna</i> .
	B. pouco numerosos	<i>Ocotea bicolor</i> e <i>Nectandra rigida</i> .
Grupo 2 (sem espículos)		<i>Cryptocarya moschata</i> .

Entretanto é muito difícil distinguir as espécies do Grupo 1, e deve ser quase impossível de classificar um pólem de um desses tipos. Podemos dizer que ele pertence à família das *Lauraceae*, mas colocá-lo no gênero, se é *Endlicheria*, *Nectandra* ou *Ocotea*, por exemplo, torna-se muito hipotético.

ANNONACEAE Juss.

Guatteria australis St. Hil. N. vulgar: Cortiça
(Fig. 19 a-c; est. 1, fig. 12)

Forma dos pólens: São achatados, de forma irregular, aproximando-se mais da elipsoidal. A exina é muito fina com o máximo de transparência. Não possuem aberturas (nonapperturates) e a superfície é levemente granulada.

Estratificação da exina: A nexina é finíssima; a sexina é bem mais espessa e tectada (tegillate). A superfície da exina é do tipo L. O.

Dimensões dos pólens: a) Acetólise: comprimento = $62,19 \pm 0,95$ ($52,48 - 72,16$) μ . Largura = $47,2 \pm 0,85$ ($39,36 - 55,76$) μ . P/E = 1,32 (subprolate). b) Wodehouse: comprimento = $61,43 \pm 0,94$ ($42,92 - 68,88$) μ . Largura = $48,61 \pm 0,99$ ($36,08 - 59,04$) μ .

Observações: Os pólens são delicadíssimos e muito transparentes. Só obtivemos pólens inteiros evitando, na acetólise, qualquer forma de aquecimento do material. A exina é muito fina e, talvez, por isto que

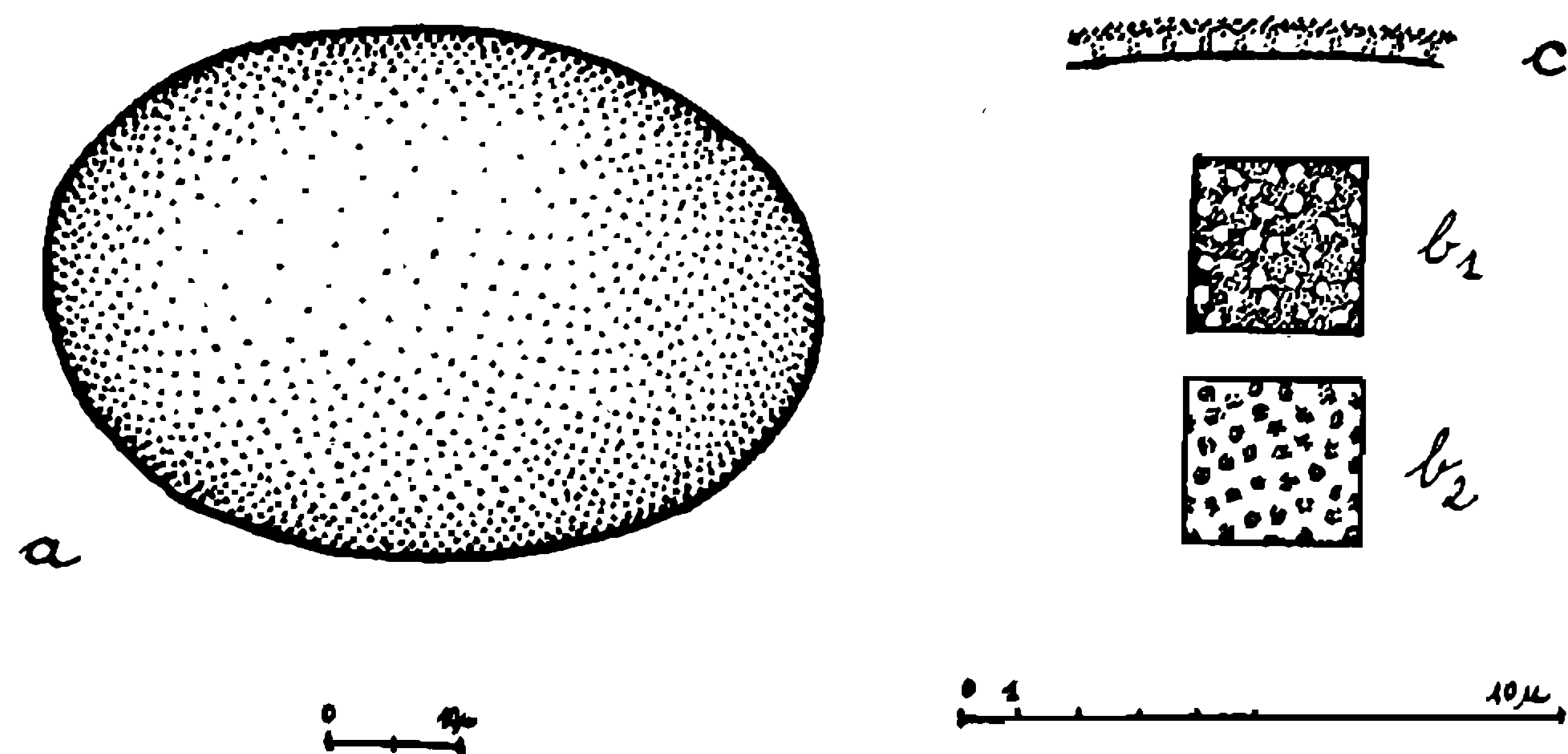


Fig. 19 — *Guatteria australis* St. Hil.: a) pôlem inteiro; b) superfície: b₁ = L. O. alto e b₂ = L. O. baixo; c) exina.

a forma dos pólens seja irregular, variando dentro de certos limites. Poucos são os pólens encontrados isoladamente. Em geral estão reunidos em grupos, de número variável, que têm uma forma alongada e plana.

Guatteria dusenii Fries N. vulgar: Cortiça
(Fig. 20 a-c)

Forma dos pólens: Típica do gênero.

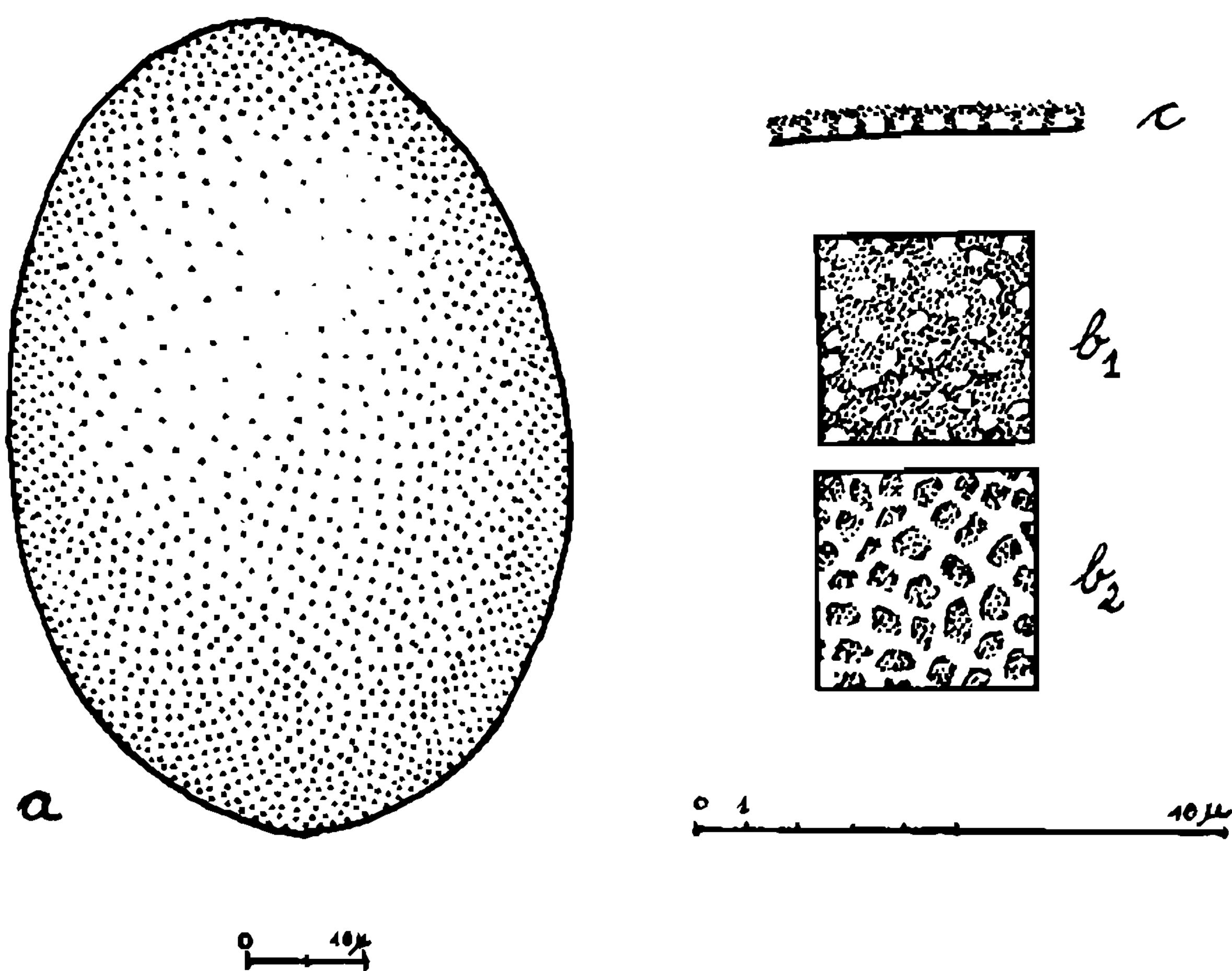


Fig. 20 — *Guatteria dusenii* Fries: a) pôlem inteiro; b) superfície: b₁ = L. O. alto e b₂ = L. O. baixo; c) exina.

Estratificação da exina: Idem, sómente que esta espécie possui a maior distância entre as bácula, considerando as três espécies de *Guatteria*.

Dimensões dos pólens: a) Acetólise: comprimento = $70,32 \pm 1,28$ ($59,04 - 82,0$) μ . Largura = $53,23 \pm 1,15$ ($42,64 - 62,32$) μ . P/E = 1,32 (subprolate). b) Wodehouse: comprimento = $67,57 \pm 0,75$ ($62,32 - 75,44$) μ . Largura = $51,17 \pm 0,33$ ($42,64 - 62,32$) μ .

Guatteria salicifolia Fries

N. vulgar: Cortiça

(Fig. 21 a-d)

Forma dos pólens: Típica do gênero.

Estratificação da exina: Idem.

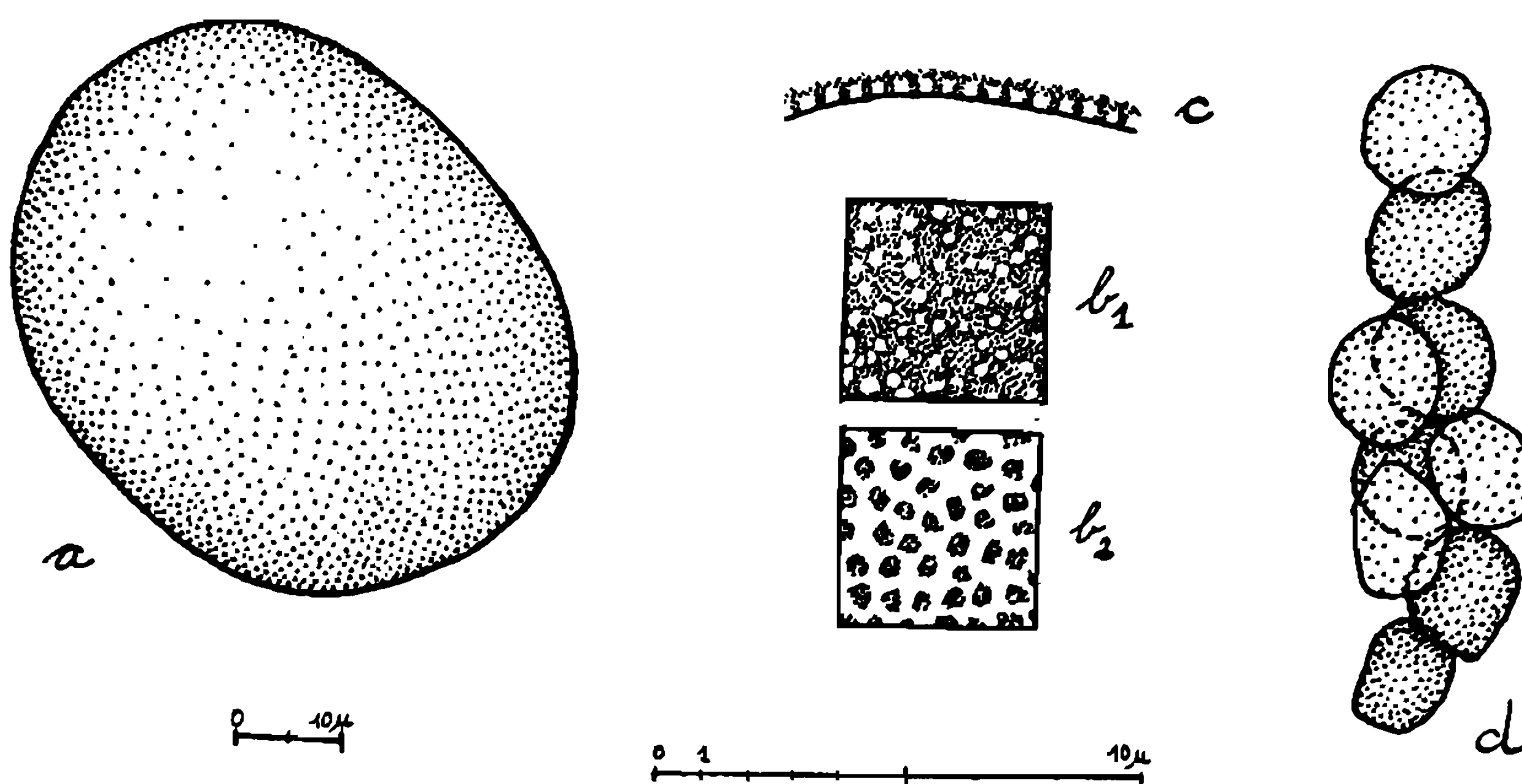


Fig. 21 — *Guatteria salicifolia* Fries: a) pôlem inteiro; b) superfície: b_1 = L. O. alto e b_2 = L. O. baixo; c) exina; d) grupo de pólens.

Dimensões dos pólens: a) Acetólise: comprimento = $60,09 \pm 1,18$ ($52,48 - 67,16$) μ . Largura = $46,9 \pm 1,54$ ($29,52 - 65,6$) μ . P/E = 1,3 (subprolate). b) Wodehouse: comprimento = $61,5 \pm 1,21$ ($52,45 - 72,16$) μ . Largura = $48,28 \pm 1,11$ ($39,36 - 59,04$) μ .

Rollinia rugulosa Schlecht.

N. vulgar: Cortiça

(Fig. 22 a-c; est. 2, figs. 13-15)

Forma dos pólens: Esferoidais. Nas preparações são muitas vezes achataados, pois enrugam facilmente. Não têm aberturas e sua superfície é reticulada.

Estratificação da exina: Quanto à subdivisão da nexina ela é obscura. A sexina é mais espessa que a nexina. Ela divide-se em endo- e

ectosexina, sendo baculada, formando um retículo (simplibaculate), com pequenos lúmens. Distinguem-se bem três fases no seu L.O.

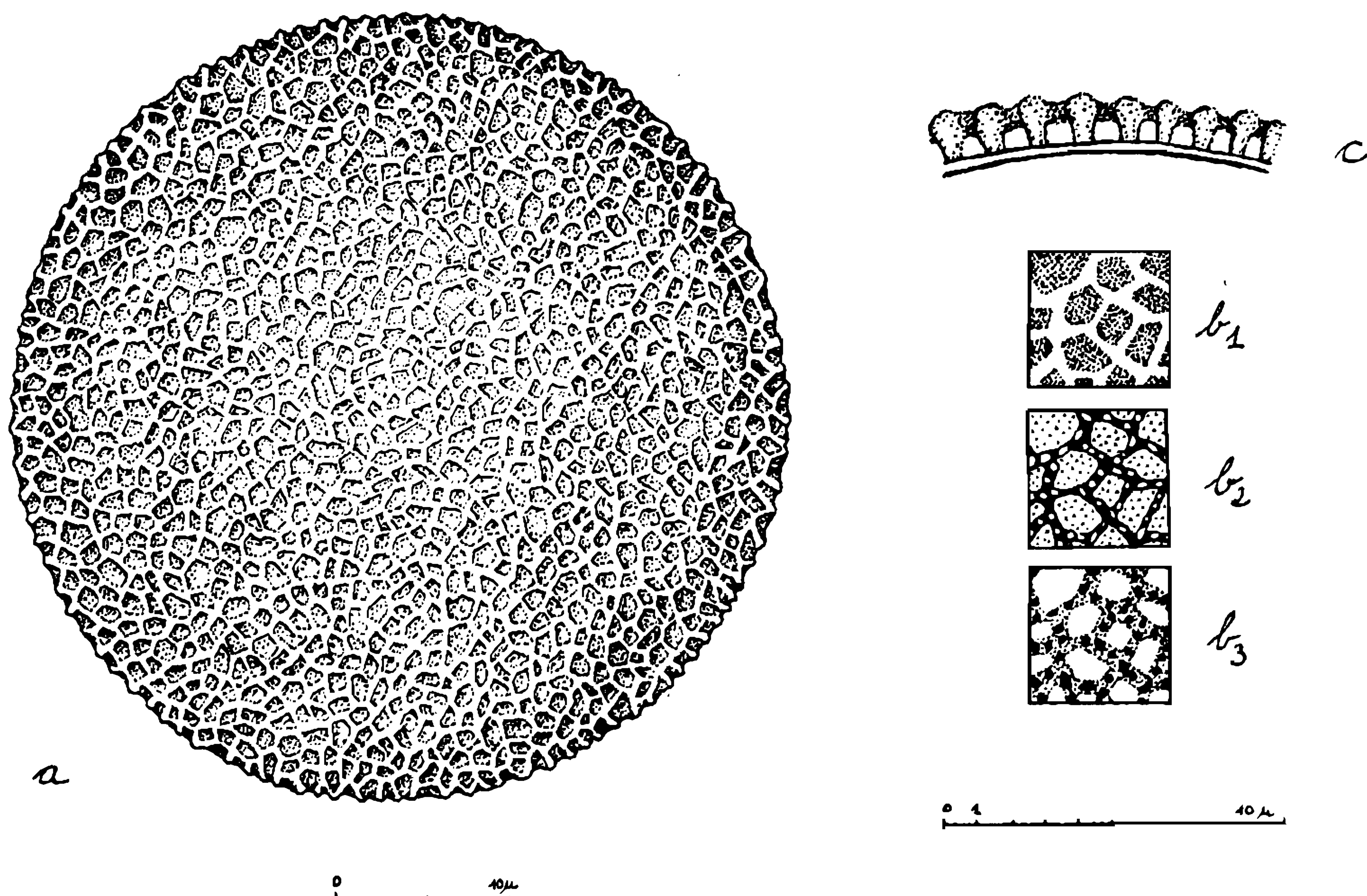


Fig. 22 — *Rollinia rugulosa* Schlecht: a) pôlem inteiro; b) superfície: b_1 = L.O. alto e b_2 = L.O. baixo; c) exina.

Dimensões dos pólens: a) Acetólise: diâmetro = $48,96 \pm 0,52$ ($42,64 - 55,76$) μ . Os lúmens variam de $0,72$ até $1,08$ μ . Wodehouse: diâmetro = $40,67 \pm 0,42$ ($36,08 - 45,92$) μ .

Rollinia exalbida (Vell.) Mart. N. vulgar: Cortiça

(Fig. 23 a-c)

Forma dos pólens: Típica do gênero.

Estratificação da exina: Idem, sómente as malhas do retículo são ainda menores que em *R. sericea*. As suas bácula são relativamente pequenas e no L.O. não se consegue distinguir a fase média.

Dimensões dos pólens: a) Acetólise: diâmetro = $43,84 \pm 1,57$ ($39,36 - 50,84$) μ . b) Wodehouse: diâmetro = $38,54 \pm 0,46$ ($34,44 - 42,64$) μ .

Observações: Ela é mais transparente que as outras duas espécies do gênero.

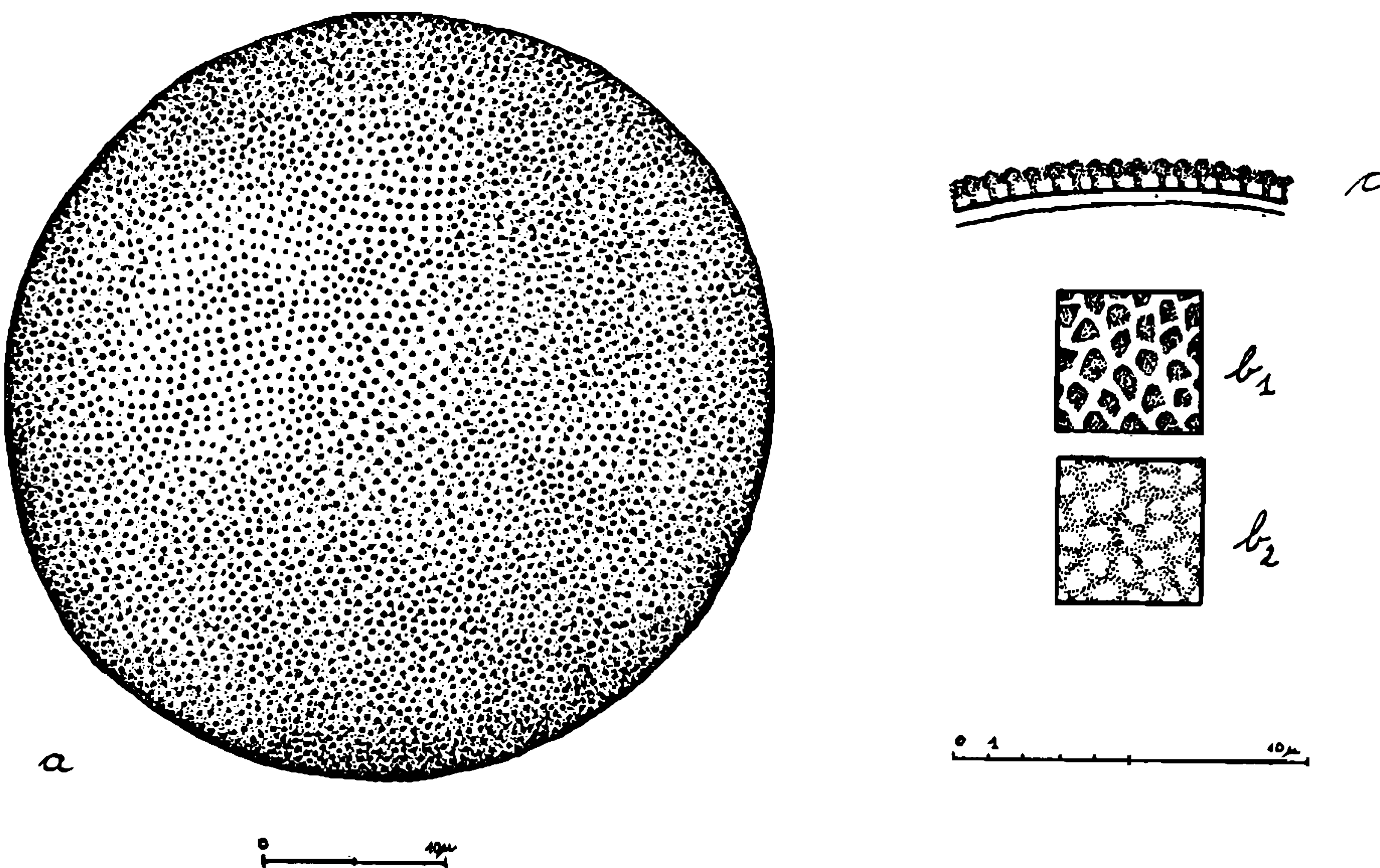


Fig. 23 — *Rollinia exalbida* (Vell.) Mart.: a) pólem inteiro; b) superfície: b₁ = L. O. alto e b₂ = L. O. baixo; c) exina.

Rollinia sericea Fries N. vulgar: Cortiça
(Fig. 24 a-c)

Forma dos pólenes: Típica do gênero.

Estratificação da exina: Idem, sómente que as malhas do seu retículo são menores.

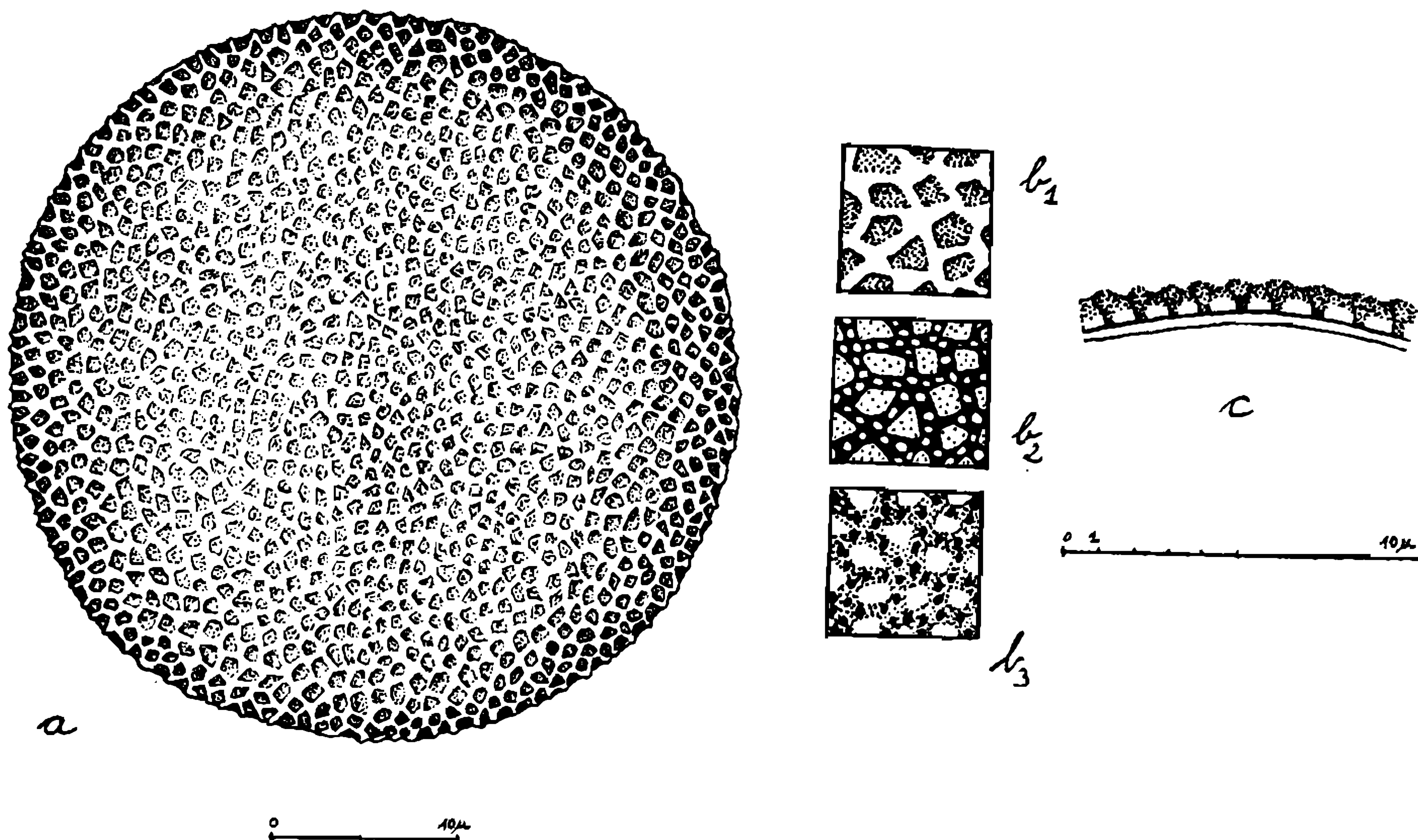


Fig. 24 — *Rollinia sericea* Fries: a) pólem inteiro; b) superfície: b₁ = L. O. alto e b₂ = L.O. baixo; c) exina.

Dimensões dos pólens: a) Acetólise: diâmetro = $37,49 \pm 0,4$ ($32,8 - 41,0$) μ . b) Wodehouse: diâmetro = $33,24 \pm 0,42$ ($29,52 - 39,36$) μ .

Duguetia lanceolata St. Hil. N. vulgar: Pindabuna
(Fig. 25 a-c; est. 2, fig. 16)

Forma dos pólens: Esferoidais, não achatados e sem aberturas. Enrugam facilmente nas preparações.

Estratificação da exina: A exina é delgada e muito transparente. Sexina mais espessa que a nexina, tem as bácula muito salientes.

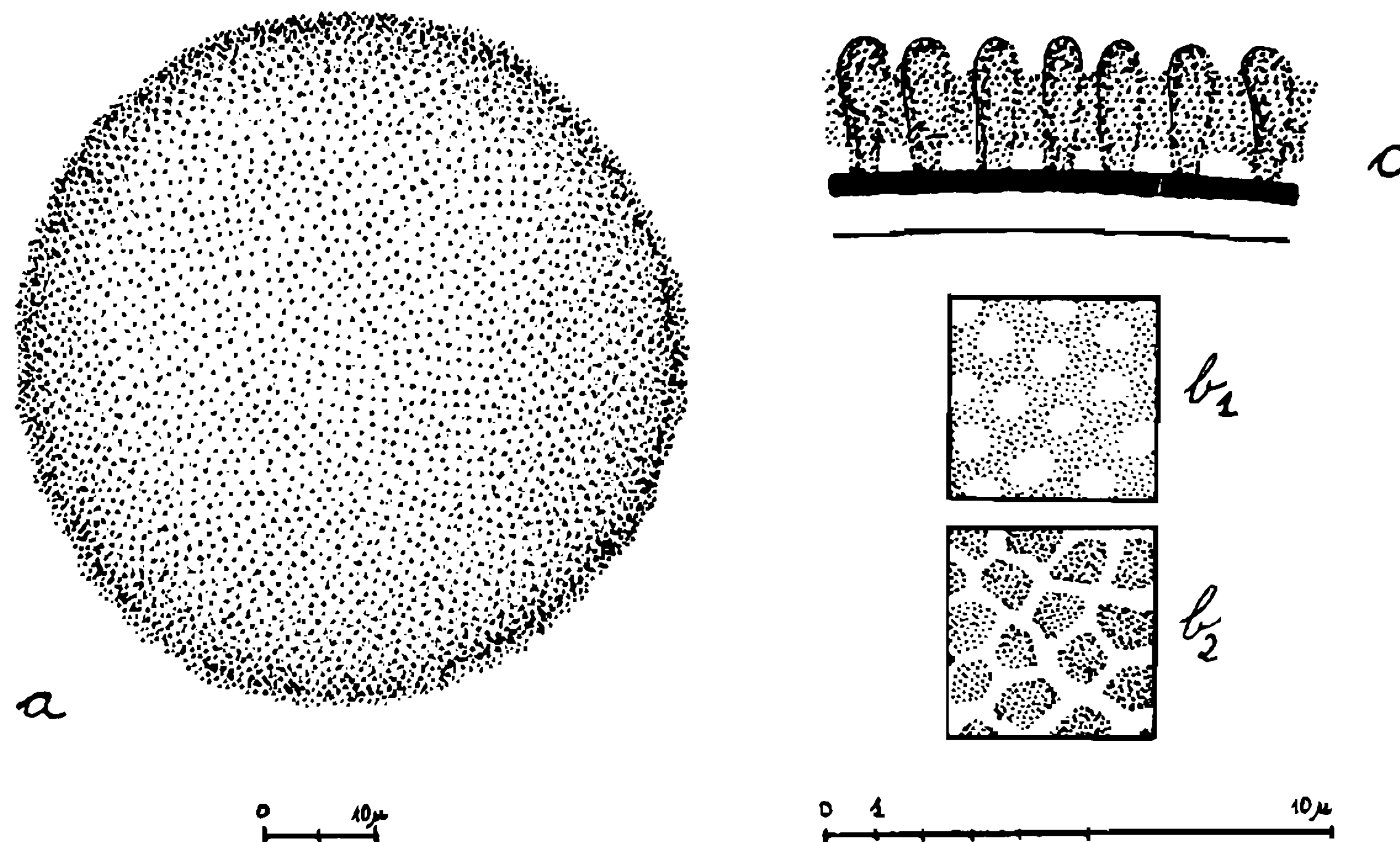


Fig. 25 — *Duguetia lanceolata* St. Hil.: a) pôlem inteiro; b) superfície: b_1 = L. O. alto e b_2 = L. O. baixo; c) exina.

Dimensões dos pólens: a) Acetólise: diâmetro = $56,04 \pm 0,65$ ($49,2 - 62,32$) μ . b) Wodehouse: diâmetro = $39,85 \pm 0,41$ ($36,08 - 45,92$) μ .

Xylopia brasiliensis Spreng. N. vulgar: Pindaíba
(Fig. 26 a-d; est. 2, figs. 20-21)

Forma dos pólens: Irregulares, pois normalmente não se encontram isolados. São achatados e sem aberturas.

Estratificação da exina: É espessa na parte distal e fina lateralmente e na parte proximal. Na região distal distingue-se: endo- e ectonexina, e endo- e ectosexina. A nexina é mais espessa que a sexina que é tectada (tegillate). Acima da sexina encontramos placas aderentes à ectosexina de cor mais clara. Nas regiões laterais e proximal, isto é, onde um grão se toca com o outro, a nexina é fina e a sexina ainda mais e a estratificação é obscura (talvez "tegillate").

Dimensões dos pólens: a) Acetólise: diâmetro (distância que vai do pólo proximal ao distal) = $39,4 \pm 0,82$ ($32,8 - 49,2$) μ . b) Wodehouse: diâmetro = $35,69 \pm 0,74$ ($26,24 - 42,64$) μ .

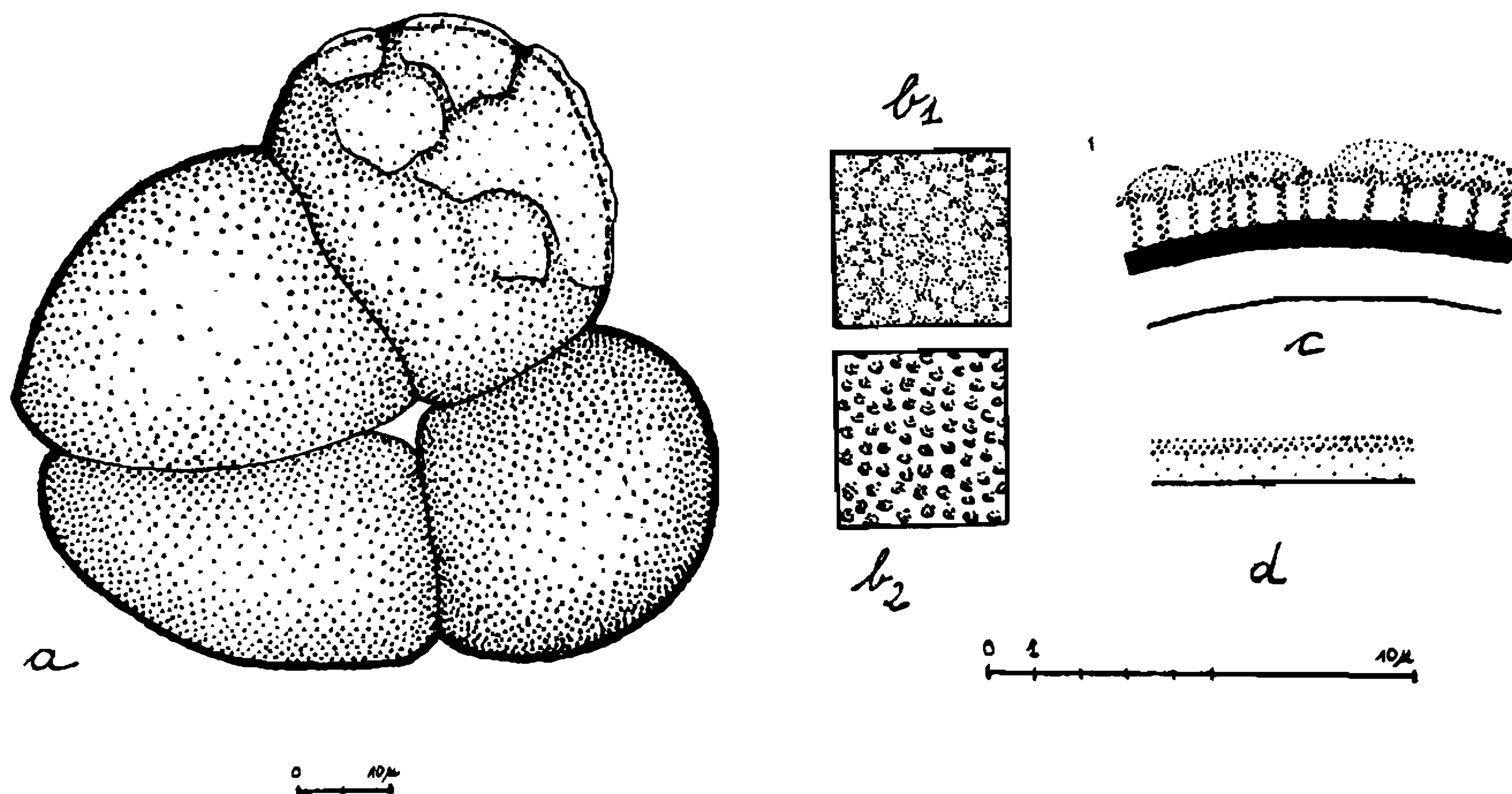


Fig. 26 — *Xylopia brasiliensis* Spreng.: a) pôlem inteiro; b) superfície: b₁ = L. O. alto e b₂ = L. O. baixo; c) exina da região distal; d) exina da região proximal.

Observações: A acetólise foi feita a frio. Os pólens encontram-se geralmente em agrupamentos arredondados, não planos, de 12, 16 ou mais grãos.

Porcelia macrocarpa (Warm.) Fries N. vulgar: ?
(Fig. 27 a-f; est. 2, figs. 22-24)

Forma dos pólens: Mais ou menos esféricos. Na parte proximal são muito delicados e transparentes. A parte distal, parecendo muito com uma calota ou capa, é bem resistente e muito espessa, possuindo grande número de foramens. Entre os foramens aparecem pequenas elevações que são as cabeças de um tipo de bastonetes.

Estratificação da exina: É muito obscura. A nexina é finíssima e totalmente transparente. A sexina é formada por bastonetes, cuja parte inferior é dividida em vários ramos, bem mais finos que a parte superior e de número variável para cada um. Foram vistos bastonetes com um, dois, três ou até cinco pés. Possuem uma cabeça um pouco dilatada fazendo saliência bem pronunciada na superfície. Na região proximal a exina é muito fina com estratificação obscura, assemelhando-se mais com o tipo tectado (tegillate). A nexina é tão fina que aparece somente como um traço.

Dimensões dos pólens: a) Acetólise: diâmetro da calota distal = $76,5 \pm 1,6$ ($62,32 - 95,12$) μ . Diâmetro médio dos foramens = $3,12 \pm 0,18$ ($1,44 - 5,76$) μ . Largura da exina = $\pm 6,48 \mu$. b) Wodehouse: diâmetro da calota = $69,6 \pm 1,34$ ($59,04 - 91,84$) μ .

Observações: Nunca vimos na prática e nem tão pouco em referências, um outro pólem dêste tipo. Só foi possível obtê-los inteiros em preparações de acetólise a frio. Os pólens raramente encontram-se isolados, quase sempre em agrupamentos de 12 ou 16 grãos, sendo que a relação da freqüência dêstes grupos é respectivamente 1,4: 1,0.

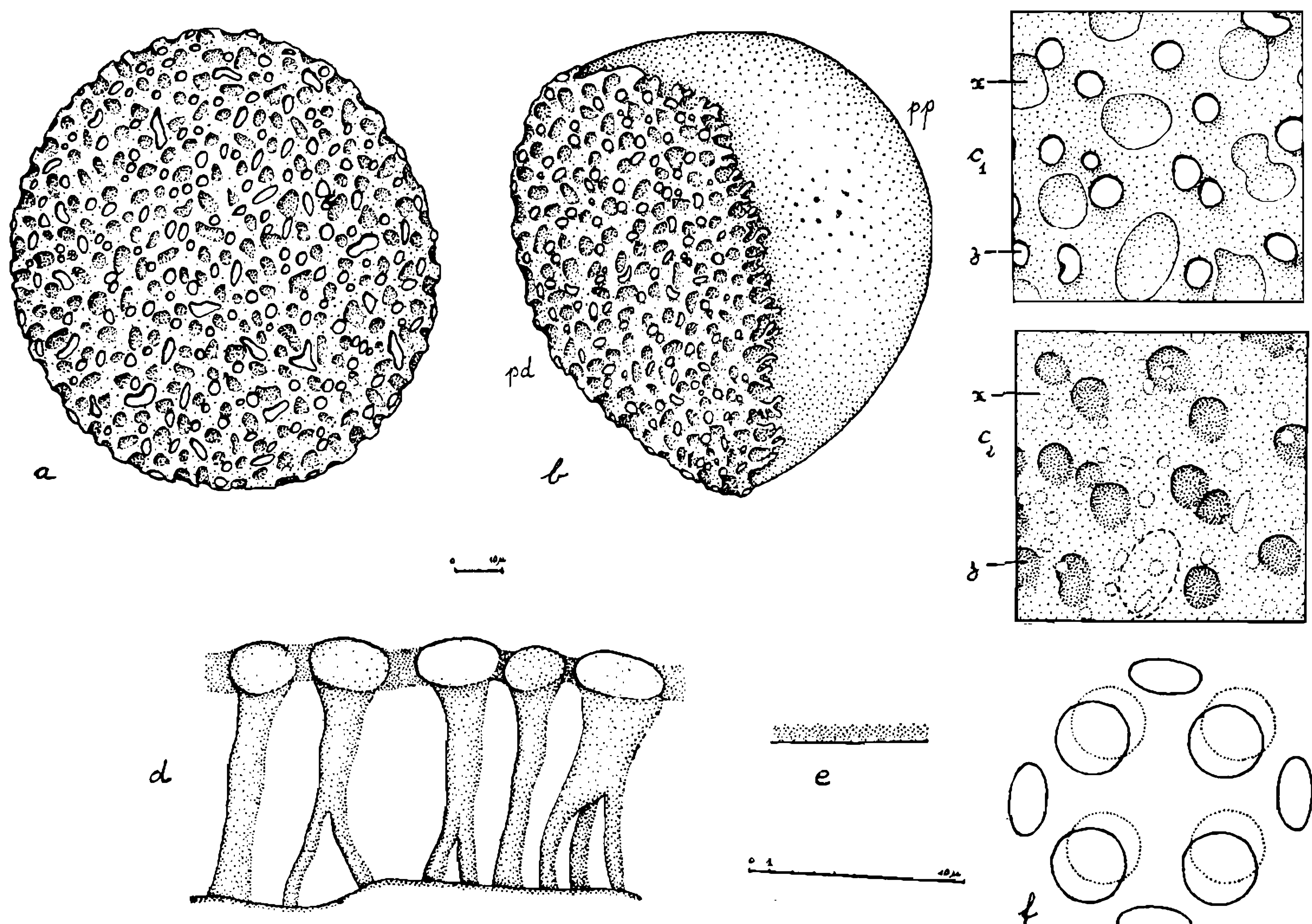


Fig. 27 — *Porcelia macrocarpa* (Warm.) Fries: a) pólem inteiro visto pelo pólo distal; b) pólem inteiro visto de lado: pd = pólo distal e pp = pólo proximal; c) superfície: c₁ = L. O. alto, c₂ = L. O. baixo, x = cabeça de um baculum e z = foramem; d) exina da região distal; e) exina da região proximal; f) um grupo de 12 pólens.

DISCUSSÃO DAS ESPÉCIES DE *Annonaceae* EXAMINADAS

De todos os gêneros examinados, *Guatteria* é o que possui a estrutura da exina mais simples. Os pólens são os mais delicados, podendo ser considerados bem primitivos, correspondendo a WETTSTEIN (1944) quando se refere à morfologia geral da família. As três espécies podem ser diferenciadas, de um lado pela distância entre as bácula, de outro distingue-se *G. dusenii* das duas outras pelo diâmetro do seu pólem que é bem maior. Tôdas têm os seus pólens em agrupamentos alongados e planos.

O gênero *Rollinia*, considerado o mais evoluído entre as *Annonaceae* (WETTSTEIN, 1944), permite uma diferenciação das três espécies estudadas de acordo com o tamanho dos lúmens no seu retículo. *R. exalbida* difere das outras, porque a fase média do seu L. O. é imperceptível. O

maior diâmetro do pólem, encontramos em *R. rugulosa* e o menor em *R. sericea*. A estratificação da exina confirma o seu grau de evolução.

Assemelhando-se um pouco com os pólens de *Rollinia*, no que diz respeito à sua forma, temos *Duguetia lanceolata*, com um diâmetro maior e uma estratificação da exina bastante complexa. Sendo muito frágil, indica talvez um caráter primitivo.

Temos, finalmente, os gêneros *Xylopia* e *Porcelia*, estruturalmente bem diferentes dos anteriores. Apresentam algumas semelhanças entre seus caracteres gerais. Assim se encontram em agrupamentos arredondados de 12 ou mais grãos; ambos têm a sua região proximal formada por exina muito fina e transparente, enquanto que a região distal é coberta por exina bem mais espessa.

Neste ponto seria interessante comparar esta caracterização dos pólens com os esquemas evolutivos dos diversos grupos considerados por FRIES (1942), referentes às *Annonaceae*.

MYRISTICACEAE Horan.

Virola oleifera (Schott.) A. C. Sm. N. vulgar: Bicuíba
(Fig. 28 a-d; est. 2, figs. 17-19)

Forma dos pólens: Em visão lateral, êles são triangulares, com arestas bem arredondadas. Nas outras posições êles são mais ou menos ovais. Segundo SMITH & WODEHOUSE (1938), a forma triangular ou oval

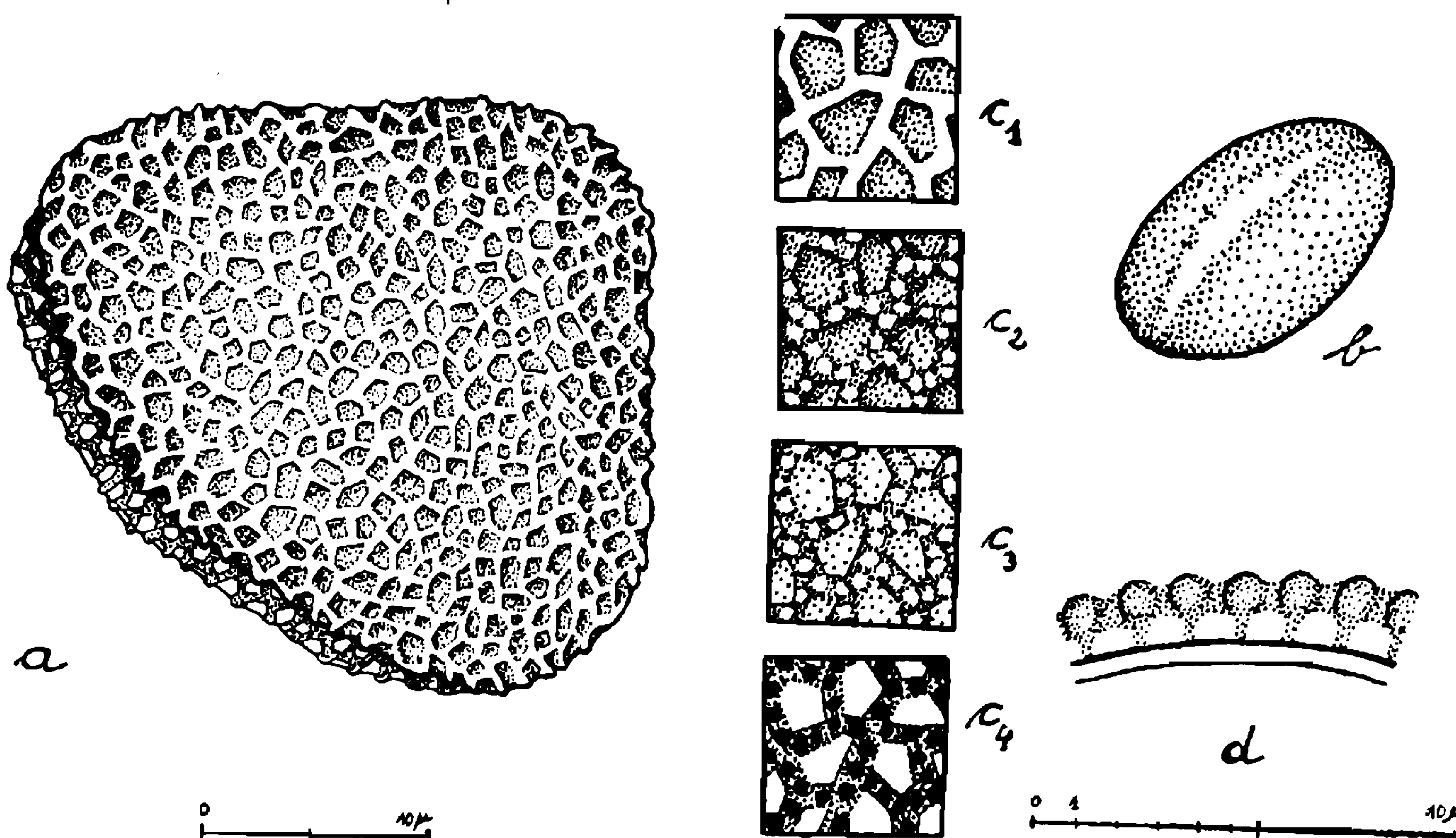


Fig. 28 — *Virola oleifera* (Schott.) A. C. Sm.: a) pólem inteiro; b) pólem inteiro e túrgido, vendo-se o sulco; c) superfície: c₁ = L. O. alto, c₂ = L. O. médio superior, c₃ = L. O. médio inferior e c₄ = L. O. baixo; d) exina.

depende da condição higrométrica do pólem. O sulco é longitudinal e localiza-se numa das arestas do triângulo, nunca na parte proximal. Ele é simples e de contornos um pouco irregulares. A superfície do grão é reticulada.

Estratificação da exina: A sexina é mais espessa que a nexina e é reticulada, sendo os murículos simples baculados. L. O. com diversas fases bem nítidas.

Dimensões dos pólens: a) Acetólise: diâmetro = $29,03 \pm 0,46$ ($26,24 - 36,08$) μ . Diâmetro dos lúmens do retículo = $\pm 1,08 \mu$. b) Wodehouse: diâmetro = $24,47 \pm 0,33$ ($22,96 - 27,88$) μ .

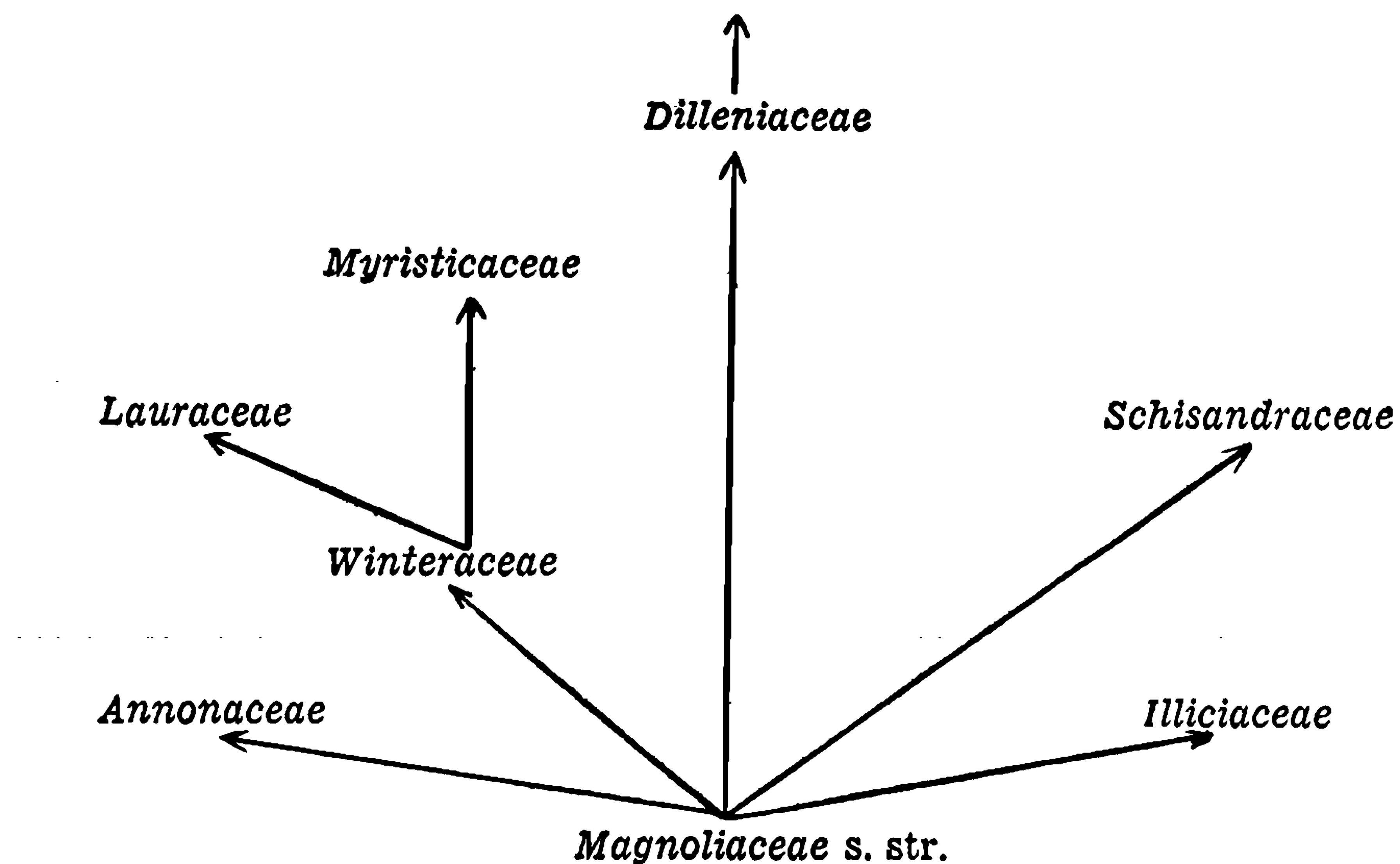
Observações: É vantajoso corar os pólens com safranina.

COMPARAÇÃO ENTRE OS PÓLENS DAS FAMÍLIAS

Comparando os pólens das famílias estudadas, notamos que a única semelhança entre as *Lauraceae* e as *Annonaceae* reside na falta de aberturas na exina (ambos são nonapperturates). O único caráter de aproximação entre as *Myristicaceae* e algumas *Annonaceae* é a superfície reticulada, e uma fina exina na região proximal, acompanhada de uma exina espessa na região distal, caracteriza os pólens de *Drimys*, *Xylopia* e *Porcelia*. É interessante assinalar que as *Magnoliaceae*, em especial a subfamília *Magnolieae*, com pólens de um sulco único, deram origem às *Annonaceae* e *Lauraceae*, que não possuem aberturas (SMITH & WODEHOUSE, 1938). Mais importante ainda deve ser a presença de um só sulco tanto nas *Myristicaceae* quanto nas *Magnolieae*.

CONCLUSÕES

De acordo com HUTCHINSON (1946 e 1959), relacionam-se filogeneticamente com as *Magnoliaceae* s. str. as famílias *Annonaceae*, *Dilleniaceae*, etc. Considera, também, as *Lauraceae* e *Myristicaceae* como que partindo das *Winteraceae*. Resumindo temos:



As características morfológicas dos pólens, cujo valor filogenético como elemento auxiliar é incontestável (WODEHOUSE, 1928), mostra de um modo geral:

1. Existência de uma propriedade comum a tôdas as espécies das famílias em questão: fragilidade e extrema delicadeza das exinas.

2. Grandes semelhanças entre os pólens de *Magnoliaceae* s. str. com as *Angiosperma* primitivas, as *Monocotyledonea* (exemplo as *Palmae*) e com as *Gymnosperma* antigas (como as *Bennettitales*, *Cycadales* e *Ginkgoales*), (EMBERGER, 1944 e WODEHOUSE, 1935).

Isto está de acordo com as conclusões de EMBERGER (1944) e HUTCHINSON (1959) que afirmam a existência de correlações filogenéticas entre as famílias do grupo *Polycarpiceae* com as *Monocotyledonea*; embora, para êles, seja ainda uma incógnita as ligações com os grupos mais primitivos.

Notamos nas *Magnoliaceae* s. lat. uma grande diferença morfológica entre os pólens dos gêneros *Talauma* e *Drimys*. Assim, quanto ao pôlem, as subfamílias *Schisandreae* (ERDTMAN, 1952) e *Illicieae* (*Drimys*), com semelhanças morfológicas, são totalmente diferentes da *Magnolieae* (*Talauma*). Com êstes elementos não podemos aceitar, para os pólens, inteiramente a classificação de HUTCHINSON (1959) e que, também, nos transmite uma forte tendência para subdividi-la em: *Magnoliaceae* s. str. (*Magnolieae*) e *Schisandraceae* s. lat. (*Schisandreae* e *Illicieae*). Comparando, no entanto, os pólens dos gêneros das subfamílias *Illicieae*, — *Illicium* e *Zygogyrum* (ERDTMAN, 1952) com *Drimys* —, verificaremos que as diferenças existentes são de igual valor observado nas outras subfamílias, o que nos força a admitir a família *Winteraceae*. Levando em conta êstes fatos, achamos as classificações de PRANTL (1891), citada em WODEHOUSE (1935), e a de ENGLER-GILG (1924) como as melhores, até que os botânicos esclareçam em definitivo o problema.

Podemos dividir os pólens da família das *Lauraceae*, de acordo com as espécies examinadas, em dois grupos: um com espículos (*Ocotea* s. lat.) e outro sem espículos (*Cryptocarya*). As nuâncias encontradas nos espículos, que variam no número e no comprimento, indicam provavelmente uma linha evolutiva (vide Quadro anterior). A ordem de colocação das espécies pode ser discutida (MARTIUS, vol. 5, part. 2, 1868); mas, a *Ocotea kuhlmanni*, com pólens relativamente grandes, frágeis, e os espículos muito delicados (desprendendo-se facilmente da nexina pela acetólise), indica uma maior aproximação com o seu ponto de origem (*Magnoliaceae* s. str.).

A família *Annonaceae*, com todos os gêneros bem diferentes, cada qual com características próprias, tem em *Guatteria* o seu representante mais primitivo, e, em *Rollinia*, o mais evoluído (WETTSTEIN, 1944). Temos, entre êstes, os pólens de *Duguetia* que se aproximam aos de *Rollinia* e, finalmente, os de *Xylopia* e *Porcelia* que são bem diferentes

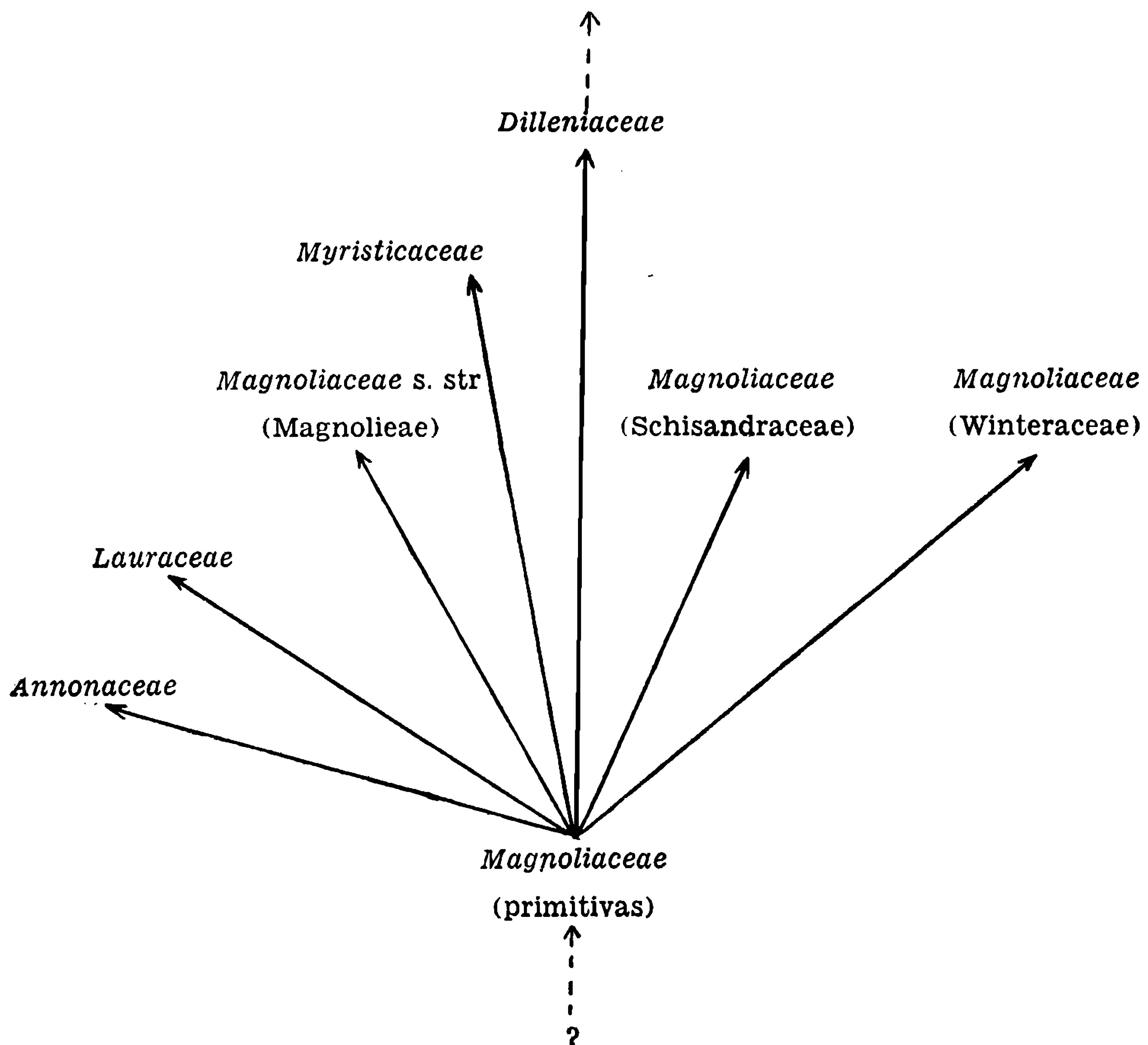
dos anteriores, mas que possuem caracteres semelhantes entre si. A seqüência dos gêneros pode ser discutida (FRIES, 1942); porém, dentro dos gêneros, procuramos estabelecer um caráter de seriação. Assim, em *Guatteria* a distância entre as bácula, grande em *G. dusenii*, decrescente em *G. salicifolia* e pequena em *G. australis* —, e o tamanho dos lúmens em *Rollinia*, — maior em *R. rugulosa*, intermediário em *R. sericea* e menor em *R. exalbida* —, força-nos a pensar seriamente numa seriação filogenética.

Das *Myristicaceae*, sómente examinamos a *Virola oleifera*, que apresenta um sulco, único caráter comum entre êste gênero e a família *Magnoliaceae* s. str. (SMITH & WODEHOUSE, 1938).

RESUMO

Do que vimos e discutimos, podemos resumir:

1. Sobre as famílias em questão quanto à morfologia dos pólens:



2. Sobre os pólens:

Exinas com aberturas	Superfície não reticulada (tegillate)	<i>Talauma ovata</i>			
	Superfície reticulada	<i>Drimys winteri</i> <i>Drimys brasiliensis</i> <i>Virola oleifera</i>			
Exinas sem aberturas	Superfície com espículos (spinulae)	<i>Ocotea</i> (tôdas as esp.) <i>Endlicheria paniculata</i> <i>Nectandra rigida</i> <i>Persea racemosa</i> <i>Aniba firmula</i> <i>Aiouea saligna</i>			
	Superficie sem espículos (spinulae)	<table border="1"> <tr> <td>Tectada (tegillate)</td> <td><i>Cryptocarya moschata</i> <i>Guatteria</i> (tôdas as esp.) <i>Xylopia brasiliensis</i> <i>Duguetia lanceolata</i></td> </tr> <tr> <td>Reticulada</td> <td><i>Rollinia</i> (tôdas as esp.)</td> </tr> </table>	Tectada (tegillate)	<i>Cryptocarya moschata</i> <i>Guatteria</i> (tôdas as esp.) <i>Xylopia brasiliensis</i> <i>Duguetia lanceolata</i>	Reticulada
Tectada (tegillate)	<i>Cryptocarya moschata</i> <i>Guatteria</i> (tôdas as esp.) <i>Xylopia brasiliensis</i> <i>Duguetia lanceolata</i>				
Reticulada	<i>Rollinia</i> (tôdas as esp.)				

Observações: Somente *Porcelia macrocarpa* não se enquadra.

ZUSAMMENFASSUNG

Wir beginnen mit dieser Arbeit einen Katalog der Baumpollen Suedbrasiliens, der als Unterlage zum spaeteren Studium der Humusablagerungen in Brasilien dienen soll. Die Reihenfolge der Familien stuetzt sich auf die Phylogenie der Pflanzenfamilien, weshalb wir mit den *Polycarpicae*, im besonderen der *Magnoliaceae* s. lat., *Lauraceae*, *Annonaceae* und *Myristicaceae*, beginnen. Obwohl die Abstammungsfolge der verschiedenen Familien noch sehr hypothetisch ist (vergleiche zum Beispiel WETTSTEIN, 1944, und HUTCHINSON, 1946 und 1959), konnten wir Aehnlichkeiten zwischen den Pollen der behandelten Familien feststellen. Vergleiche zwischen den verschiedenen Gattungen dieser Familien fuehren zu keinem sicheren phylogenetischen Schluss.

Die Pollen der verschiedenen Lauraceengattungen, ausser *Cryptocarya*, aehneln sich untereinander so, dass dadurch die Gattungs- und Artbestimmungen unmöglich gemacht werden. Im Gegensatz treffen wir bei den Annonaceengattungen, so wie auch bei den Magnoliaceen s. lat., typische Formen und Strukturen an. Hierzu machen wir auf die pollensystematische Zusammenfassung am Ende der Arbeit aufmerksam.

Die Praeparate wurden nach der Acetolysemethode (beschrieben in ERDTMAN, 1952 und 1954) hergestellt. Da alle Pollen, ausser *Drimys* und *Virola*, eine sehr duenne Exine besitzen, war groesste Vorsicht geboten, um sie nicht zu zerstoeren. Gleichzeitig wurde zum Vergleich jeweils ein Objekt nach der Wodehouse'schen Methode (WODEHOUSE, 1935) behandelt.

SUMMARY

In this publication, we begin the composition of a catalogue of arboreal pollens of the south regions of Brazil, which will serve for a posterior study of the humus formations of Brazil. The sequence of the families corresponds on the phylogeny of the families of plants; for this reason we begin with the *Polycarpicae*, especially with the families *Magnoliaceae* s. lat., *Lauraceae*, *Annonaceae* and *Myristicaceae*. Though the phylogenetic sequence of the different families is yet a very hypothetical one (compare WETTSTEIN, 1944, and HUTCHINSON, 1946 and 1959), we verified similarity between the pollens of the studied families. Comparations between the different genus did not give us a safe phylogenetic result.

The pollens of the different genus of *Lauraceae*, excepting *Cryptocarya*, look so similar that, by this, we see no possibility for the determination of genus and species. In the contrary, we find in the genus of *Annonaceae*, and also of the *Magnoliaceae* s. lat., typical forms and structures. We call attention for the summary of pollen-systematics on the end of this publication.

The preparations were manufactured by the method of acetolysis (cit. by ERDTMAN, 1952 and 1954). Because of the very delicate exine of all the pollens, excepting *Drimys* and *Virola*, it was necessary to work with great caution to avoid destruction. At the same time, we treated, in all the cases, an object by the method of Wodehouse for comparation (WODEHOUSE, 1935).

BIBLIOGRAFIA

- BAILEY, I. W. & NAST, C., 1943, The comparative morphology of the Winteraceae. I — Pollen and stames. *J. Arnold Arbor.*, 24: 4 pp.
- CAIN, S. A., 1939, Pollen analysis as a paleo-ecological research method. *Bot. Rev.*, 5: 627-654.
- EMBERGER, L., 1944, *Les plantes fossiles dans leurs rapport avec les végétaux vivants*. 492 pp., Ed. Masson & Cie., Paris.
- ENGLER, A. & GILG, E., 1924, *Syllabus der Pflanzenfamilien*. XLII + 420 pp., Bornträger, Berlim.
- ERDTMAN, G., 1952, *Pollen morphology and plant taxonomy*. XII + 539 pp., Chronica Botanica Co., Upsala.
- ERDTMAN, G., 1954, *An Introduction to Pollen Analysis*. XV + 239 pp., Chronica Botanica Co., Stockholm.
- FRIES, R., 1942, Winige Gesichts punkte zur systematischen Gruppierung der amerikanischen Annonaceen — Gattungen. *Ark. Bot.*, 30A (8): 1-31.

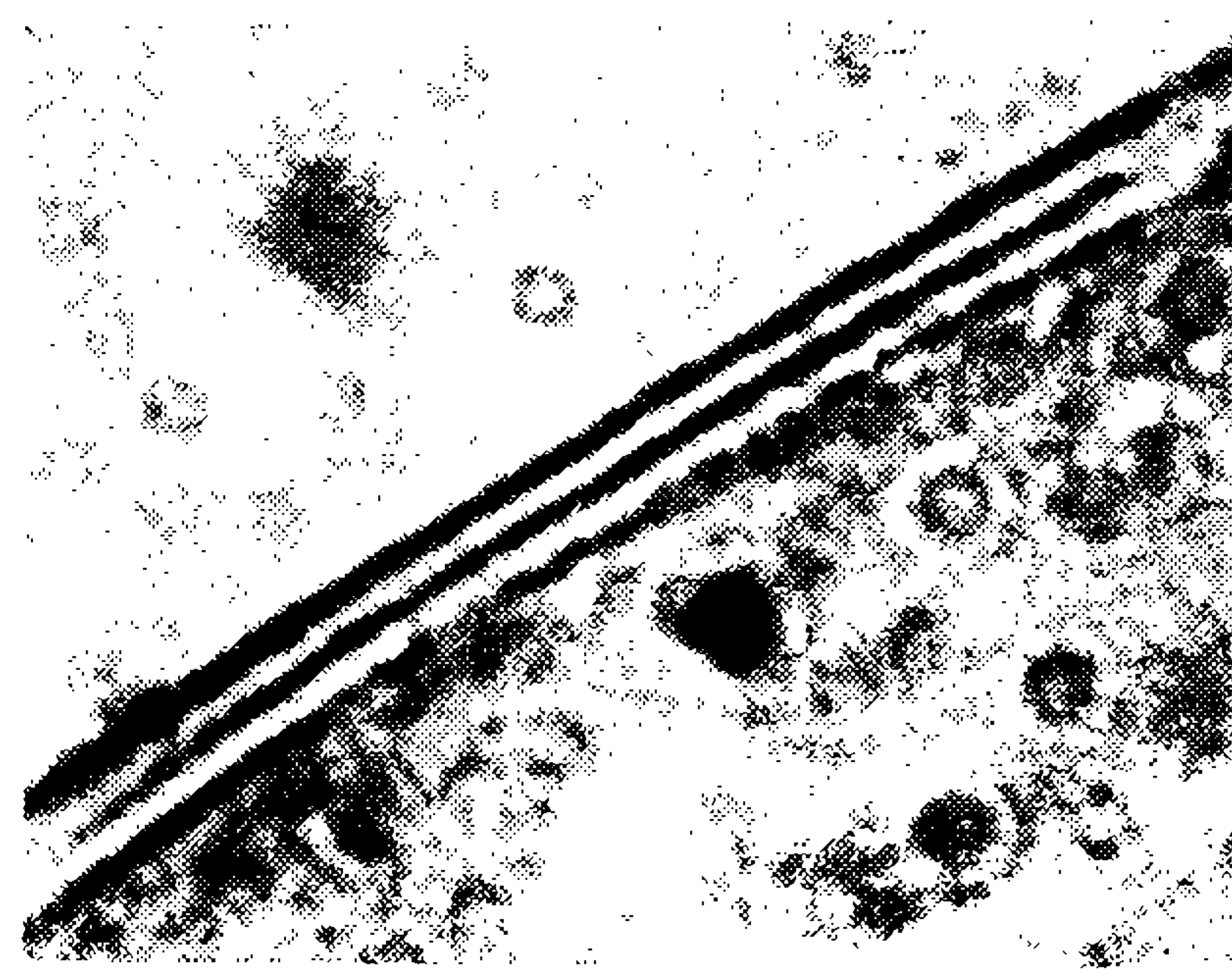
- GOMES, J. C., 1949a, Contribuição ao conhecimento das Bignoniaceae brasileiras. I — Sampaiella J. C. Gomes, nov. gen. *Rodriguesia*, 23: 107-111.
- GOMES, J. C., 1949b, Contribuição ao conhecimento das Bignoniaceae brasileiras. II — Manaosella J. C. Gomes, nov. gen. *Arq. Jard. Bot. Rio de Janeiro*, 9: 83-86.
- GOMES, J. C. 1949c, Contribuição ao conhecimento das Bignoniaceae brasileiras. III — Novas espécies dos gêneros Adenocalymma, Clytostoma e Saldanhae. *Arq. Jard. Bot. Rio de Janeiro*, 9: 223-229.
- HUTCHINSON, J., 1946, *A Botanist in Southern Africa*. XII + 686 pp., P. R. Gauthier Ltd., London.
- HUTCHINSON, J., 1959, *The families of flowering plants*. XV + 792 pp., Clarendon Press, Oxford.
- IHERING, H., 1907, A distribuição de campos e matas no Brasil. *Rev. Mus. Paulista*, 7: 125-178.
- LINDMAN, C. A. M., 1906, *A vegetação no Rio Grande do Sul*. (Trad. Alberto Loefgren), 356 pp., Ed. Livr. Universal, Pôrto Alegre.
- MAACK, R., 1948, Notas preliminares sobre clima, solos e vegetação do Estado do Paraná. *Arq. Biol. Tecnol.*, 3: 103-200.
- MOREIRA, A. X., 1958, Nôvo índice a ser introduzido na terminologia palinológica. *Rev. Brasil. Biol.*, 18 (4): 457-460.
- PAUWELS, G., 1941, Algumas notas sobre a distribuição do campo e da mata no sul do país e a fixidez do limite que os separa. *Rev. Brasil. Geog.*, 3 (3): 155-158.
- POTONIÉ, R., 1934, Zur Mikrobotanik der Kohlen und ihren Verwandten. II — Zur Mikrobotanik des eocänen Humodils des Geiseltals. *Arb. Inst. Paläobot.*, 4 (in ERDTMAN, 1952).
- PULLE, A. A., 1938, The classification of the Spermatophytes. *Chronica Botanica*, 4 (2): 109-113.
- REITZ, R., 1958, O censo da vegetação catarinense. *Sellowia*, 10 (9): 9-17.
- SELLING, O. H., 1947, Studies in Hawaiian pollen statistics. Part. II, 430 pp., *Spec. Publ. Bishop Mus.*, 38. Göteborg.
- SMITH, A. C. & WODEHOUSE, R. P., 1938, The american species of Myristicaceae. *Brittonia*, 5 (2): 397-402.
- WETTSTEIN, R., 1944, *Tratado de Botánica Sistemática*. (Trad. P. Font Quer), XIX + 1039 pp., Ed. Labor Argentina.
- WODEHOUSE, R. P., 1928, The phylogenetic value of pollen-grain characters. *Ann. Bot.*, 42 (168): 891-934.
- WODEHOUSE, R. P., 1932, Tertiary pollen. I — Pollen of the living representatives of the Gren River flora. *Bull. Torrey Bot. Club*, 59 (6): 313 pp.
- WODEHOUSE, R. P., 1935, *Pollen grains*. 574 pp., Mac Graw-Hill Co., New York.
- WODEHOUSE, R. P., 1945, *Hayfever plants*. XIX + 245 pp., Chronica Botanica Co., Mass.

ESTAMPA 1

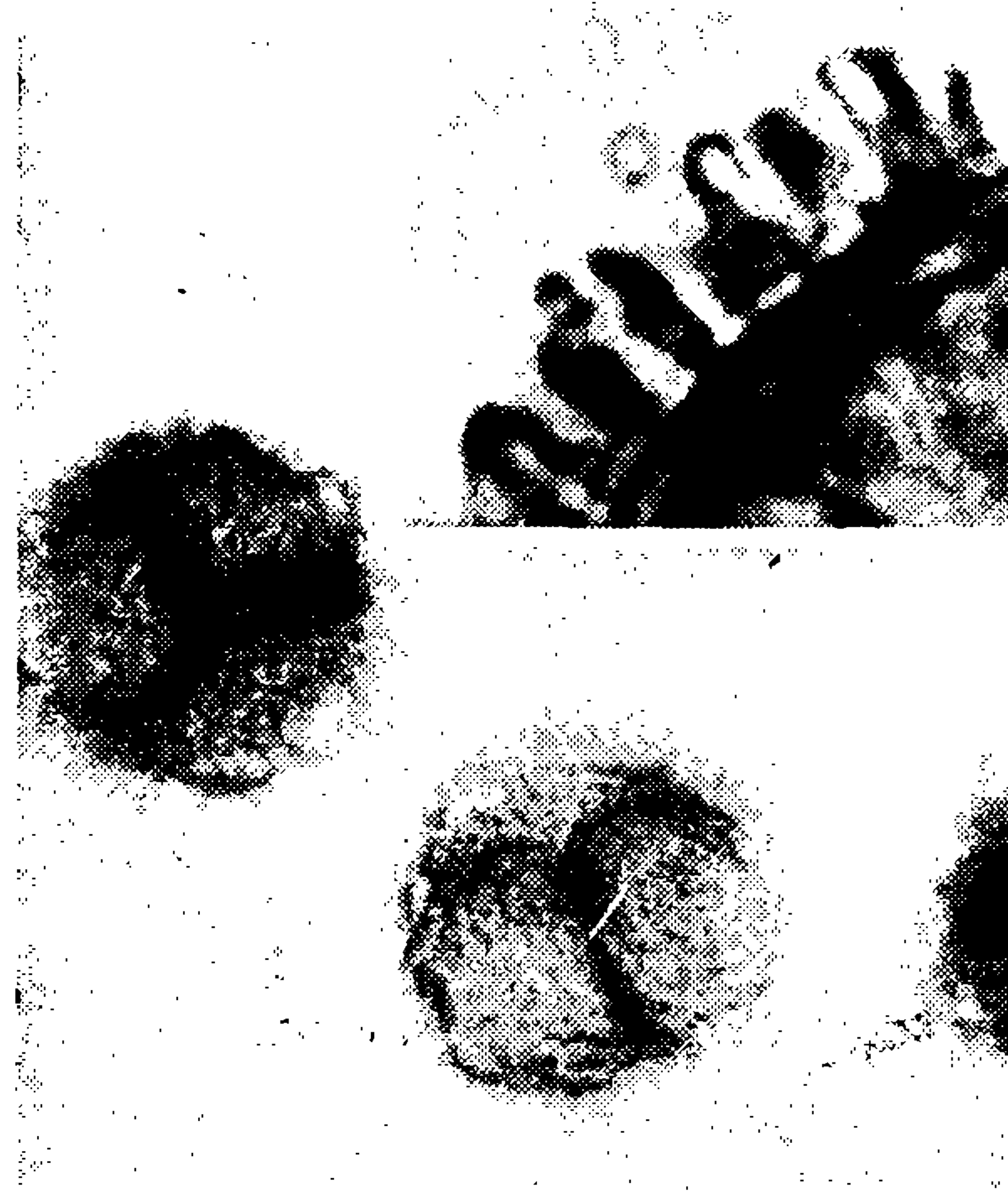
- Fig. 1 — *Talauma ovata*, grão inteiro, vista equatorial longitudinal.
- Fig. 2 — *Talauma ovata*, exina.
- Fig. 3 — *Drimys brasiliensis*, tétradas.
- Fig. 4 — *Drimys brasiliensis*, tétrada.
- Fig. 5 — *Drimys brasiliensis*, exina da região equatorial de um grão.
- Fig. 6 — *Ocotea bicolor*, grão inteiro.
- Fig. 7 — *Ocotea bicolor*, corte óptico.
- Fig. 8 — *Ocotea bicolor*, exina.
- Fig. 9 — *Cryptocarya moschata*, grão inteiro.
- Fig. 10 — *Cryptocarya moschata*, corte óptico de um grão, tendo ainda o conteúdo protoplasmático no centro.
- Fig. 11 — *Cryptocarya moschata*, exina.
- Fig. 12 — *Guatteria australis*, um grupo de pólens.



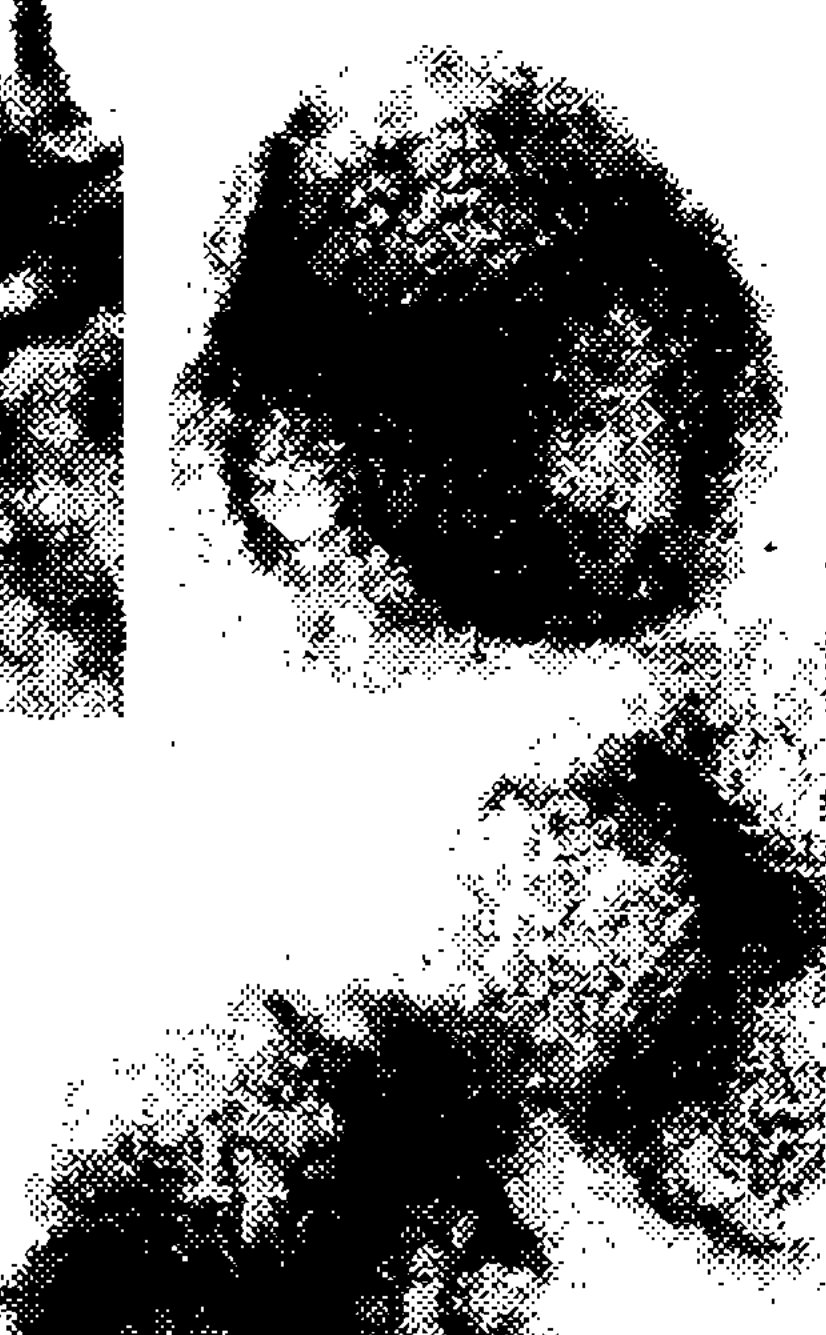
1



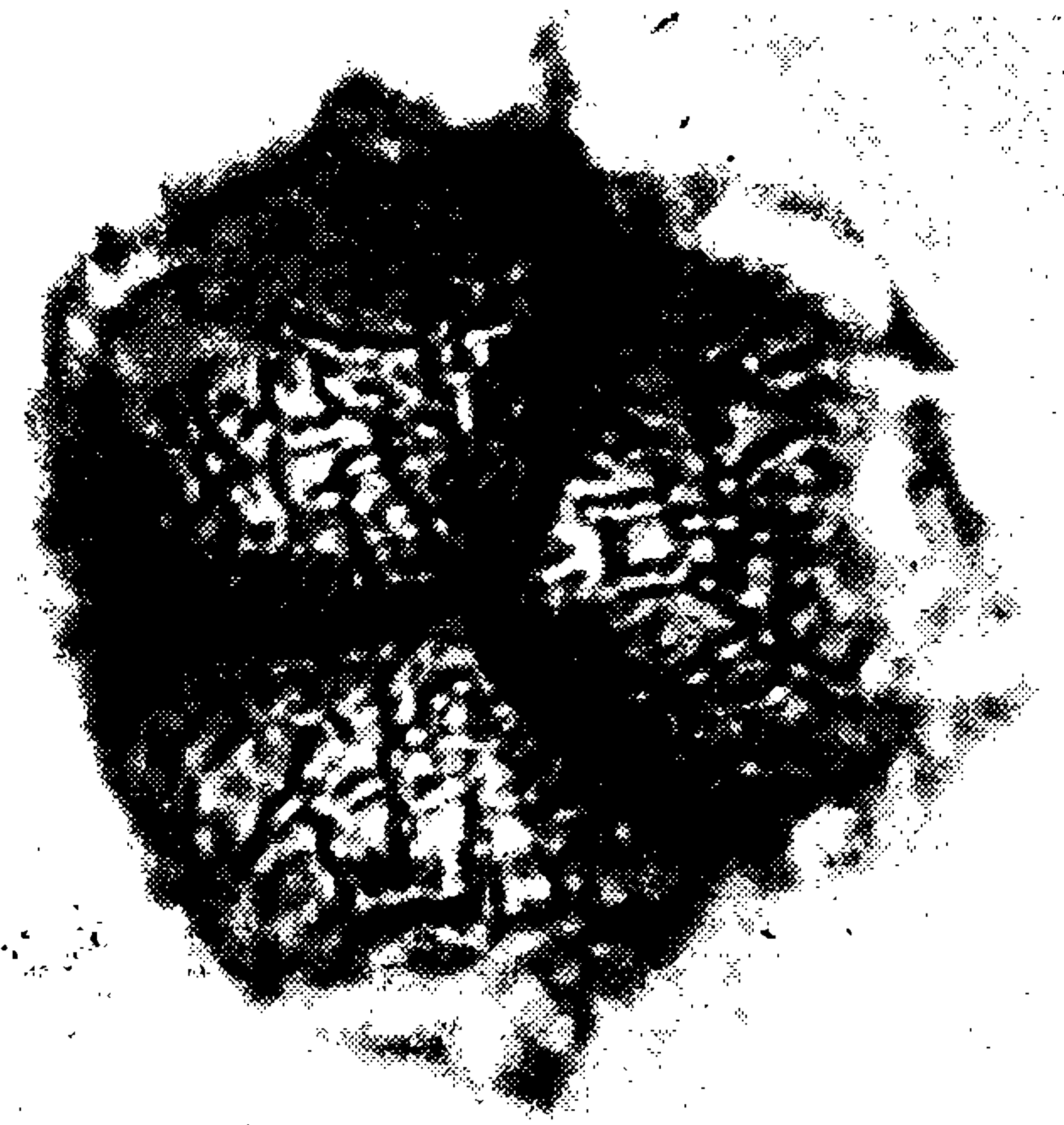
2



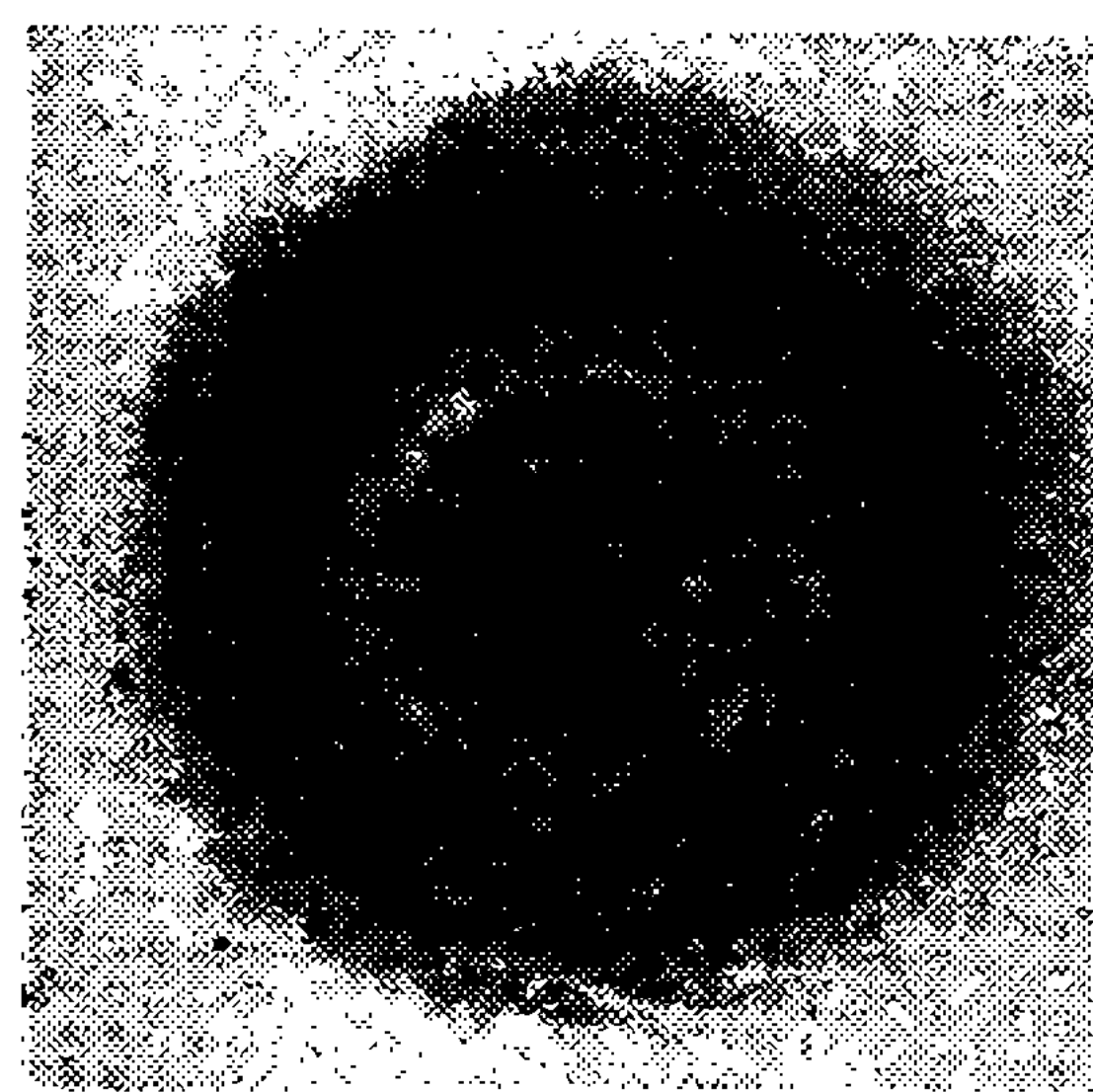
3



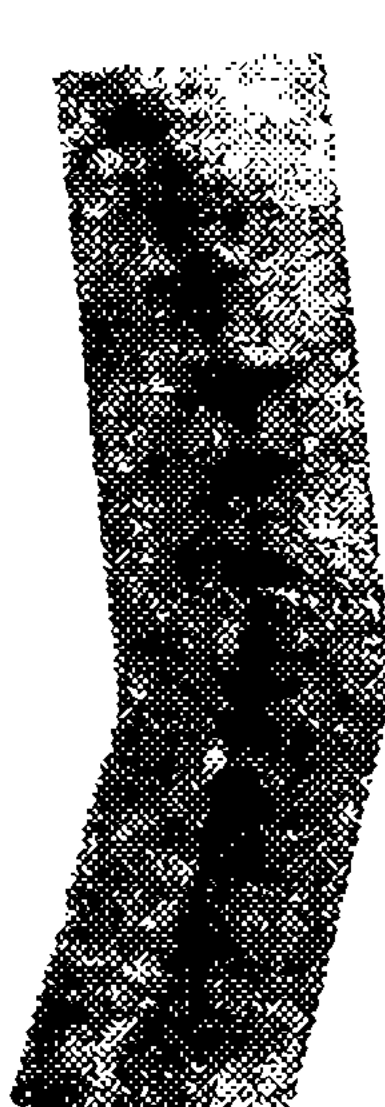
5



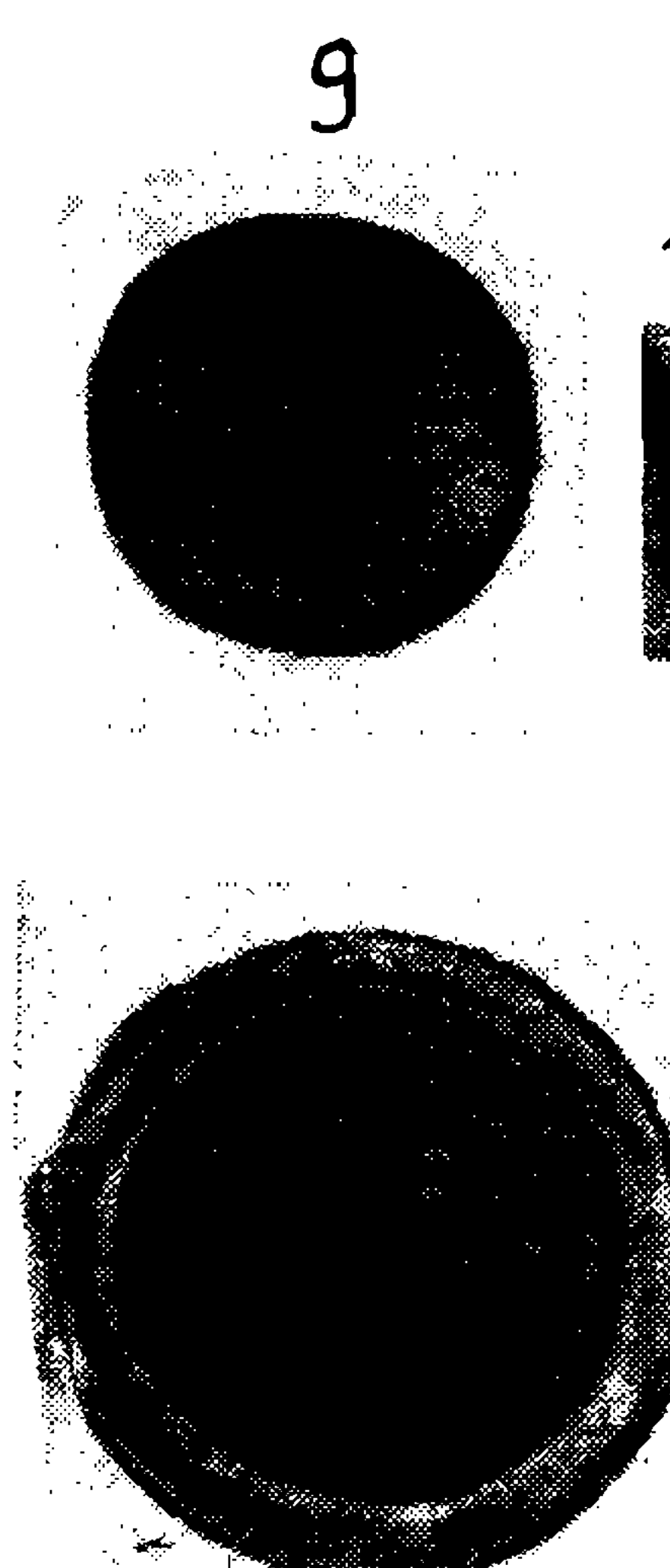
4



6



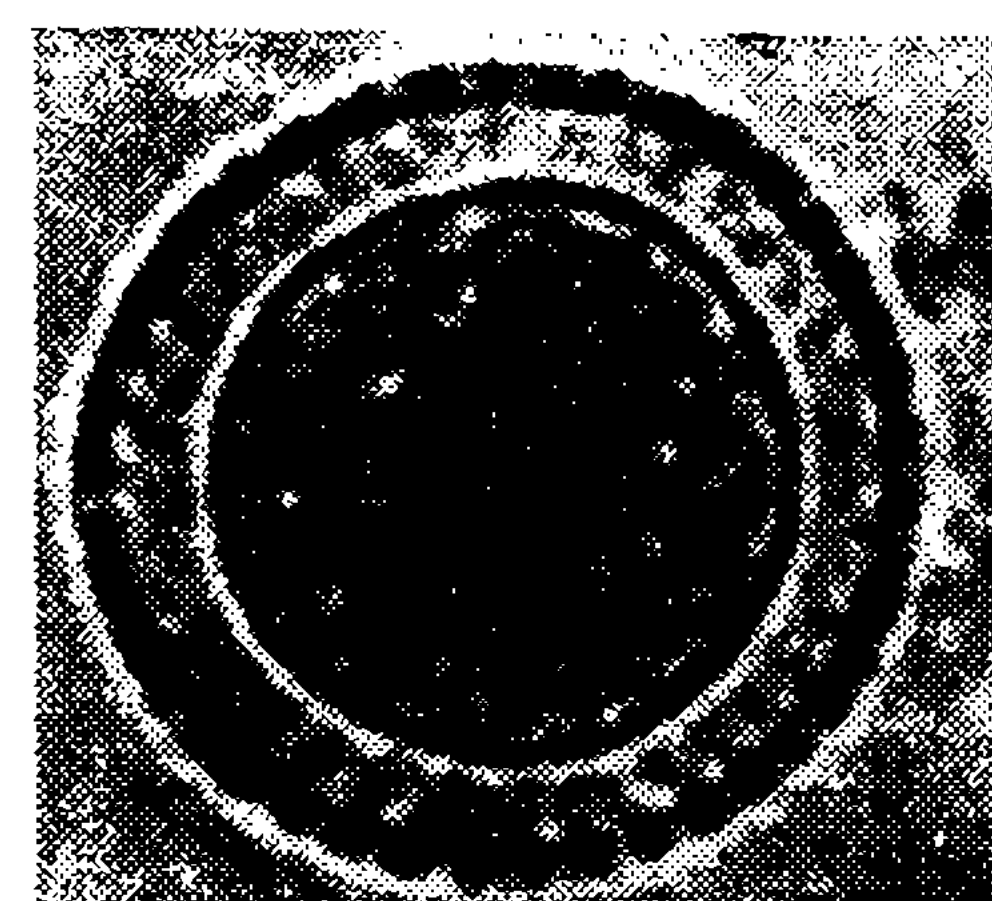
8



9

11

10



7



12

ESTAMPA 2

- Fig. 13 — *Rollinia rugulosa*, grão inteiro.
- Fig. 14 — *Rollinia rugulosa*, exina.
- Fig. 15 — *Rollinia rugulosa*, superfície, muito aumentada.
- Fig. 16 — *Duguetia lanceolata*, corte óptico num grão inteiro.
- Fig. 17 — *Virola oleifera*, grãos inteiros em diversas posições.
- Fig. 18 — *Virola oleifera*, superfície, muito aumentada.
- Fig. 19 — *Virola oleifera*, corte óptico num grão inteiro.
- Fig. 20 — *Xilopia brasiliensis*, grupo de pólens.
- Fig. 21 — *Xilopia brasiliensis*, corte óptico em dois grãos adjacentes.
- Fig. 22 — *Porcelia macrocarpa*, grupo de 8 pólens.
- Fig. 23 — *Porcelia macrocarpa*, superfície da região distal.
- Fig. 24 — *Porcelia macrocarpa*, corte óptico da exina da região distal.

